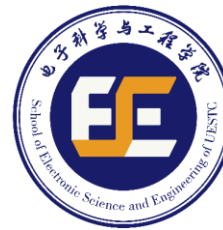




电子科技大学



电子科学与工程学院  
(示范性微电子学院)  
School of Electronic Science and Engineering  
(National Exemplary School of Microelectronics)

# 量子噪声建模工作总结

何松桓 崔逸飞

2024/9/13

# 一、目前的错误模型

# 错误模型

- 1.测量错误：提取每个qubit的测量错误，添加到仿真模型中
- 2.退相干错误：提取每个Qubit的T1, T2时间，应用amplitude and phase damping channel

$$\mathcal{E}_{AD} \circ \mathcal{E}_{PD}(\rho) = \mathcal{E}_{PD} \circ \mathcal{E}_{AD}(\rho).$$

$$E_1^D = E_1^{PD} E_1^{AD} = \begin{bmatrix} 1 & 0 \\ 0 & \sqrt{1-p_{AD}}\sqrt{1-p_{PD}} \end{bmatrix}$$

$$E_2^D = E_1^{PD} E_2^{AD} = \begin{bmatrix} 0 & \sqrt{p_{AD}} \\ 0 & 0 \end{bmatrix}$$

$$E_3^D = E_2^{PD} E_1^{AD} = \begin{bmatrix} 0 & 0 \\ 0 & \sqrt{1-p_{AD}}\sqrt{p_{PD}} \end{bmatrix}$$

- 其中,  $e^{-t/T1} = 1 - P_{AD}$ ,  $e^{-t/T2} = \sqrt{(1 - P_{AD})(1 - P_{PD})}$

# 退相干错误

- 采用Pauli Twirling技术, 将退相干噪声转换成不对称的depolarizing channel

$$\epsilon_{\text{PT}}(\rho) = \frac{1}{4} \sum_{A \in I-X, Y, Z} A^\dagger \epsilon(A \rho A^\dagger) A.$$

$$p_X = p_Y = \frac{1 - e^{-t/T_1}}{4},$$

$$p_Z = \frac{1 - e^{-t/T_2}}{2} - \frac{1 - e^{-t/T_1}}{4},$$

[1] Low-distance surface codes under realistic quantum noise

[2] Efficient error models for fault-tolerant architectures and the Pauli twirling approximation

## 其他错误

- 3. 由于退相干错误不能包含门的全部错误，为补偿其他错误，添加对称的depolarizing channel

$$\mathcal{E} = \mathcal{E}_{\text{depol}} \circ \mathcal{E}_{\text{relax}}$$

- 首先，根据amplitude and phase damping channel计算该通道的保真度

$$\overline{F}(\mathcal{E}_p) = \int \langle \psi | \mathcal{E}_p(|\psi\rangle\langle\psi|) | \psi \rangle d\psi$$

- 再提取IBM每个qubit上，各个门的保真度（由于IBM支持的基础门集不包含CZ门，目前的方法是将组成CZ门的基础门的错误率相乘，作为CZ门的错误率）

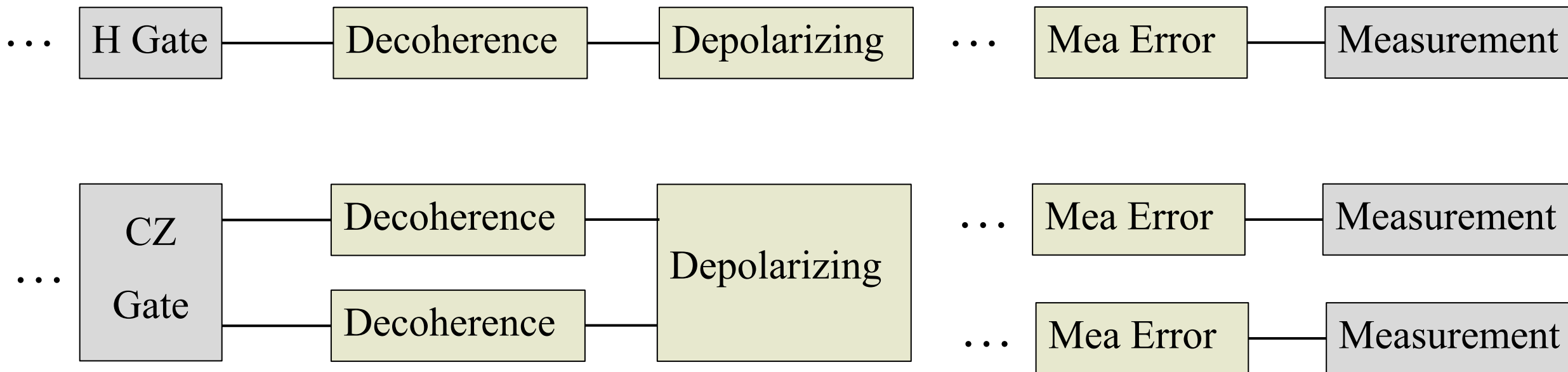
## 其他错误

- 由各个门的保真度和退相干的保真度，计算depolarizing channel参数

```
# For the n-qubit depolarizing channel  $E_{\text{dep}} = (1-p) * I + p * D$ , where
# I is the identity channel and D is the completely depolarizing
# channel. To compose the errors we solve for the equation
#  $F = F(E_{\text{dep}} * E_{\text{relax}})$ 
#  $= (1 - p) * F(I * E_{\text{relax}}) + p * F(D * E_{\text{relax}})$ 
#  $= (1 - p) * F(E_{\text{relax}}) + p * F(D)$ 
#  $= F(E_{\text{relax}}) - p * (\text{dim} * F(E_{\text{relax}}) - 1) / \text{dim}$ 

# Hence we have that the depolarizing error probability
# for the composed depolarization channel is
#  $p = \text{dim} * (F(E_{\text{relax}}) - F) / (\text{dim} * F(E_{\text{relax}}) - 1)$ 
```

## 错误仿真图例



# 泄露噪声添加方式

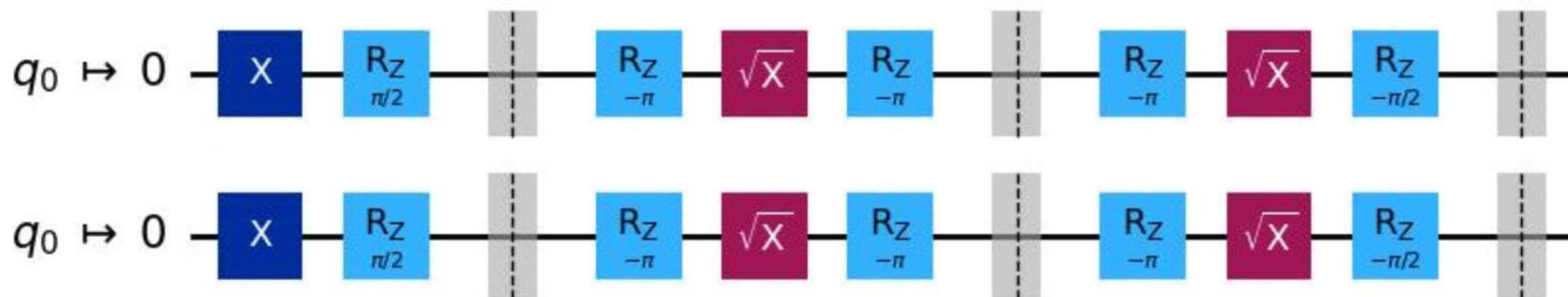
- 假定泄露噪声仅发生于H门和CZ门后，若发生泄露，则其不参与后续错误，泄露比特的测量结果为随机结果
- 在每个门后，泄露比特有固定概率回退到随机的计算态
- 若CZ门发生在泄露比特和不泄露比特间，则不泄露比特在经过CZ门后将变成随机态



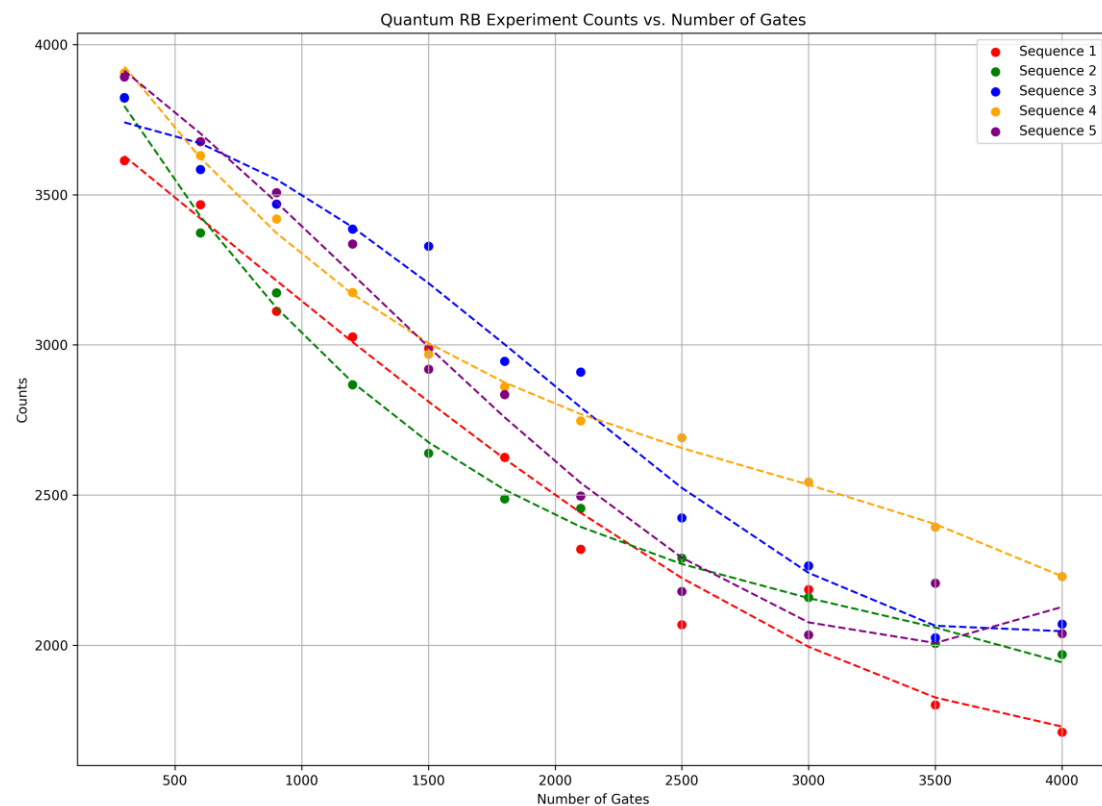
## 二、RB实验结果

# 单量子比特门RB实验

- 对相近的两个物理量子比特进行不同门序列以及不同门长度的RB实验（选择两个相近比特的目的是为了测量出串扰噪声对比特结果的影响）

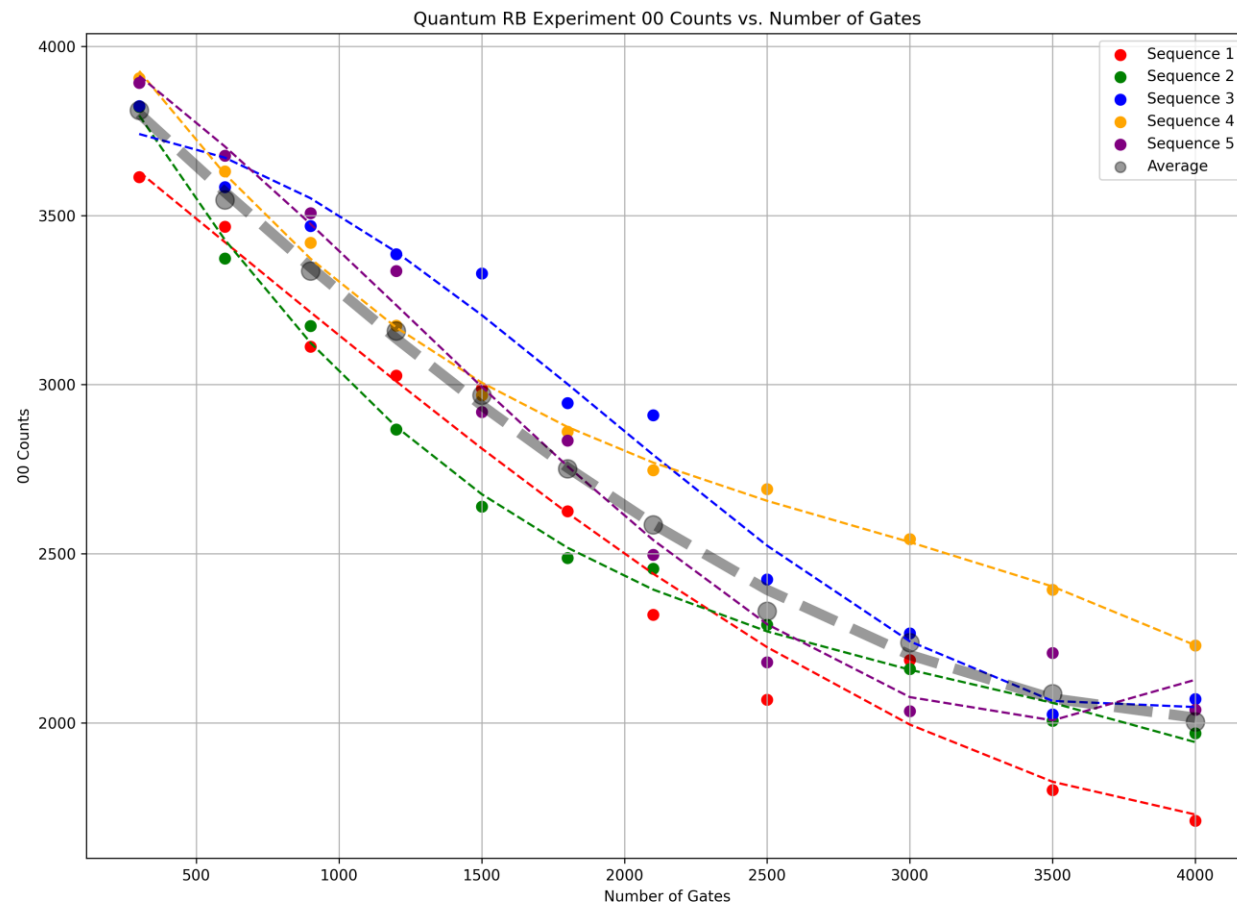


# 单量子比特门RB实验



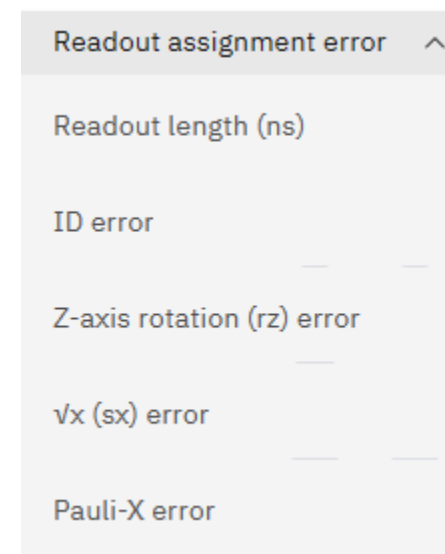
- 五个不同随机门序列的IBM芯片测试结果，纵坐标是00状态的次数(即两个比特皆正确的结果)，每轮4096次。

# 单量子比特门RB实验



# 单比特噪声仿真

- 电路级仿真：IBM对每个量子芯片的每个量子比特会有一个calibration，几个小时更新一次。
- 提取其中的参数：
- ①每个基础门（基础门构成单比特以及双比特门）的错误率



- 其中RZ相关的门错误率为0，因为IBM使用了“虚拟Z门”技术：McKay D C, Wood C J, Sheldon S, et al. Efficient Z gates for quantum computing[J]. Physical Review A, 2017, 96(2): 022330.

# 单比特噪声仿真

- ②测量错误率：

Prob meas0 prep1

Prob meas1 prep0

prob meas0 prep1 代表准备1状态而测量出0状态的概率  
prob meas1 prep0 代表准备0状态而测量出1状态的概率

- ③相关时间参数：

T1 (us)

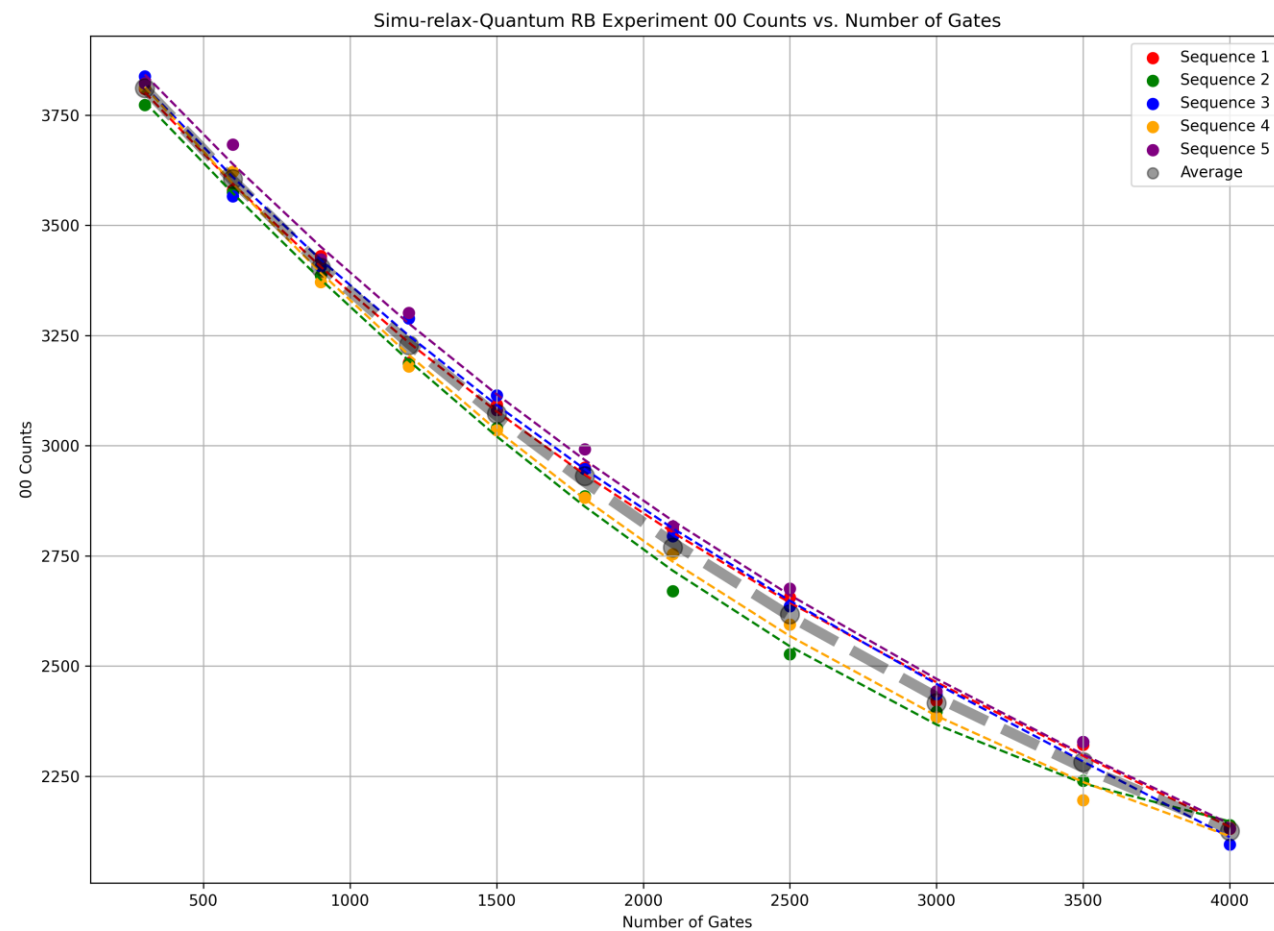
T2 (us)

以及单比特门的执行时间t等

## 单比特噪声仿真 (relax)

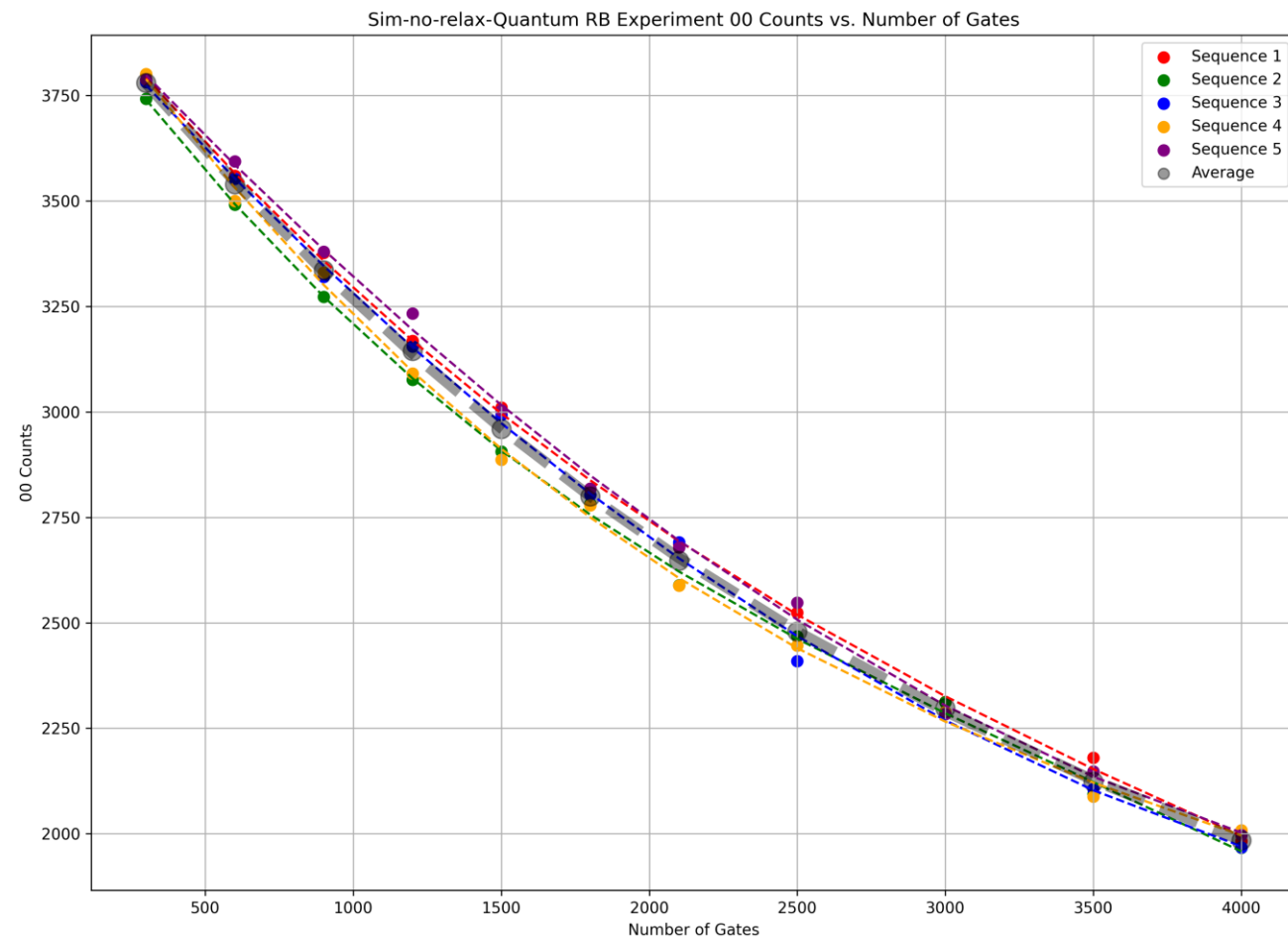
- Thermal relaxation (热弛豫) , 相当于退相干噪声, 由该比特的 $T_1$ ,  $T_2$ 时间以及门操作时间 $t$ 决定。
- 理论上, 在IBM所测得的基础门错误率中包含了Thermal relaxation 以及门本身的不完美忠诚度。现在, 我们尝试把Thermal relaxation 以及门的不完美忠诚度分离并单独作用于每一个基础门, 并与直接将基础门错误率作用于基础门的实验结果进行比较。

# 单比特噪声仿真 (relax)

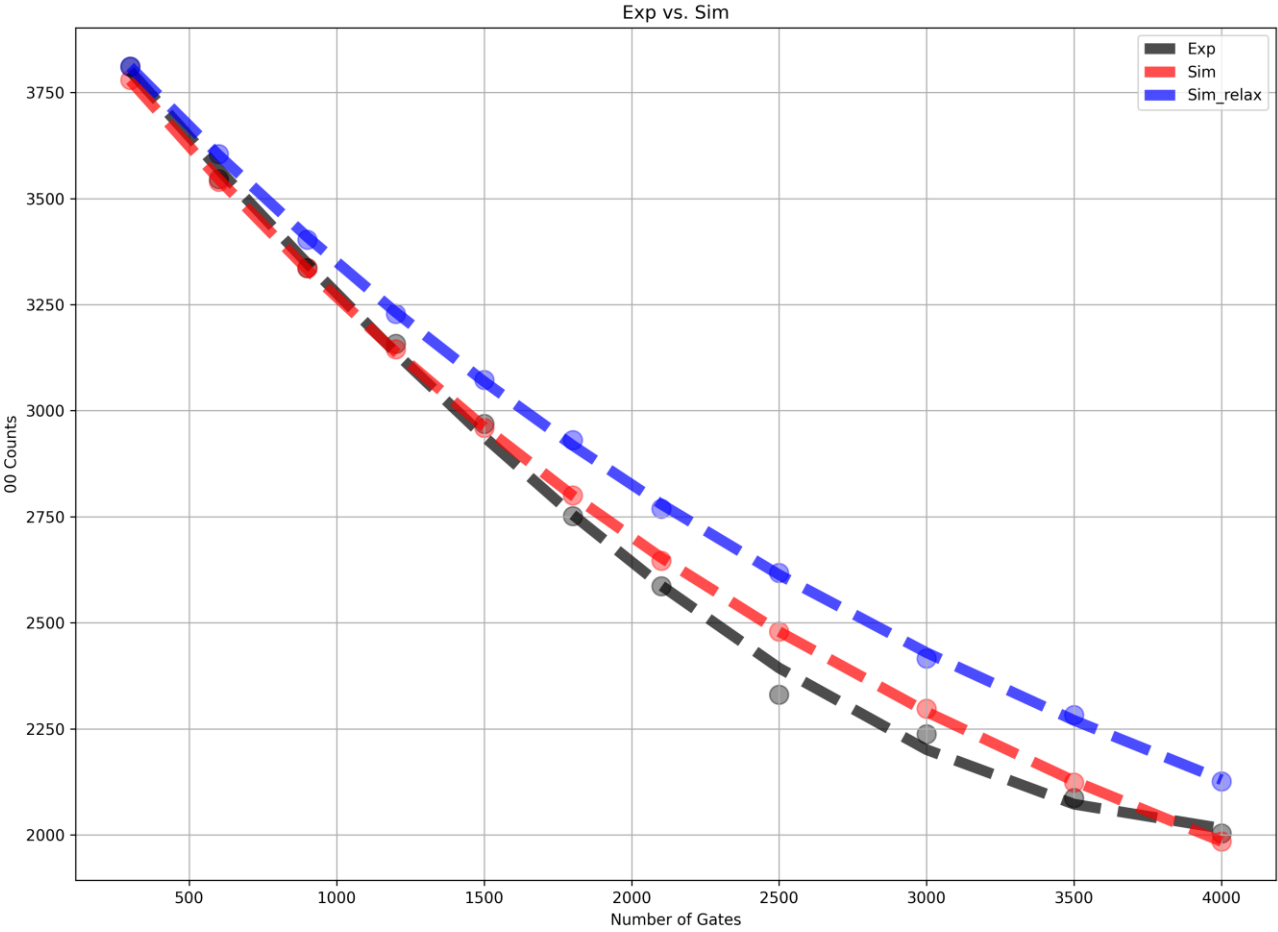




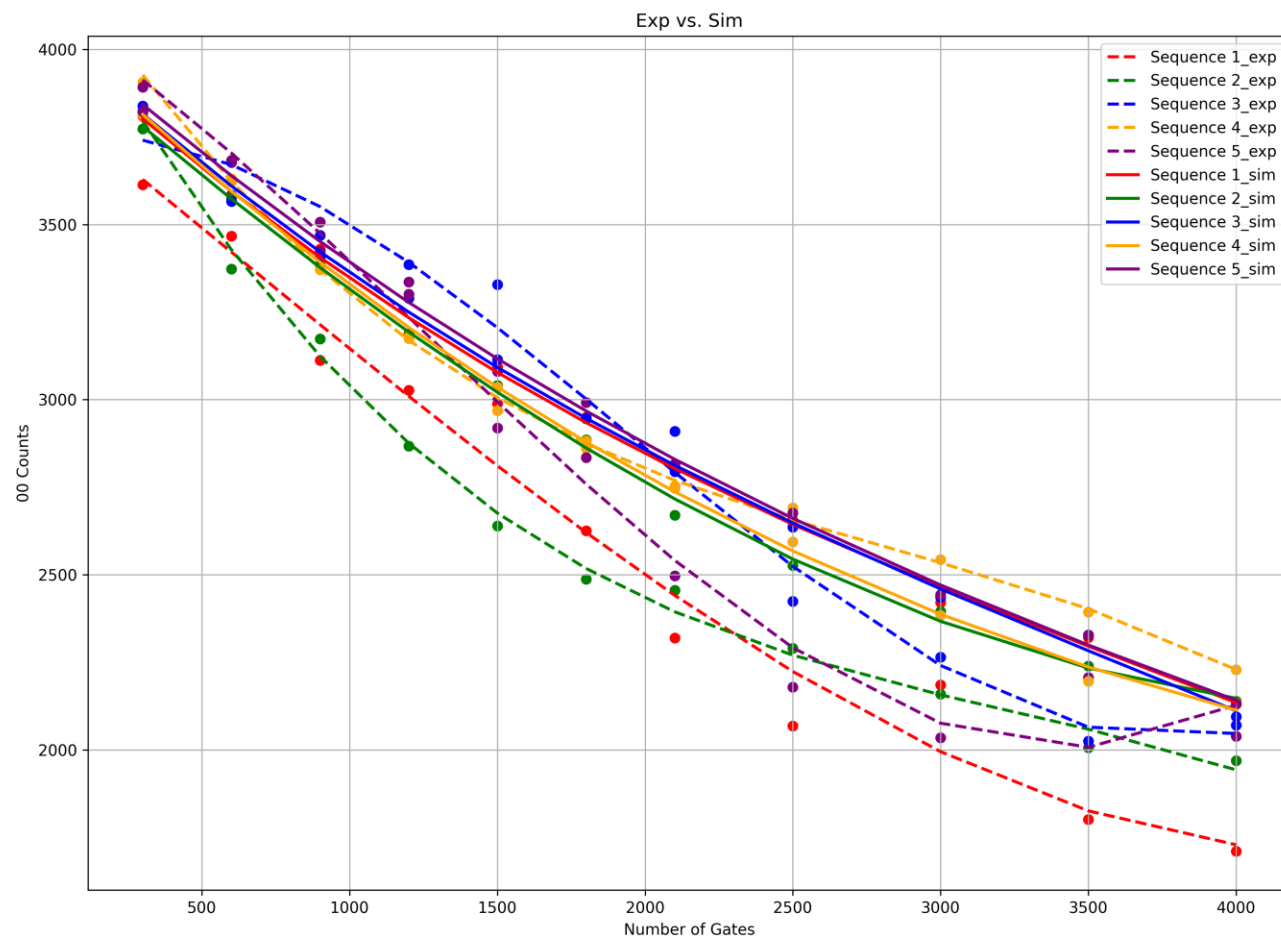
# 单比特噪声仿真 (无relax)



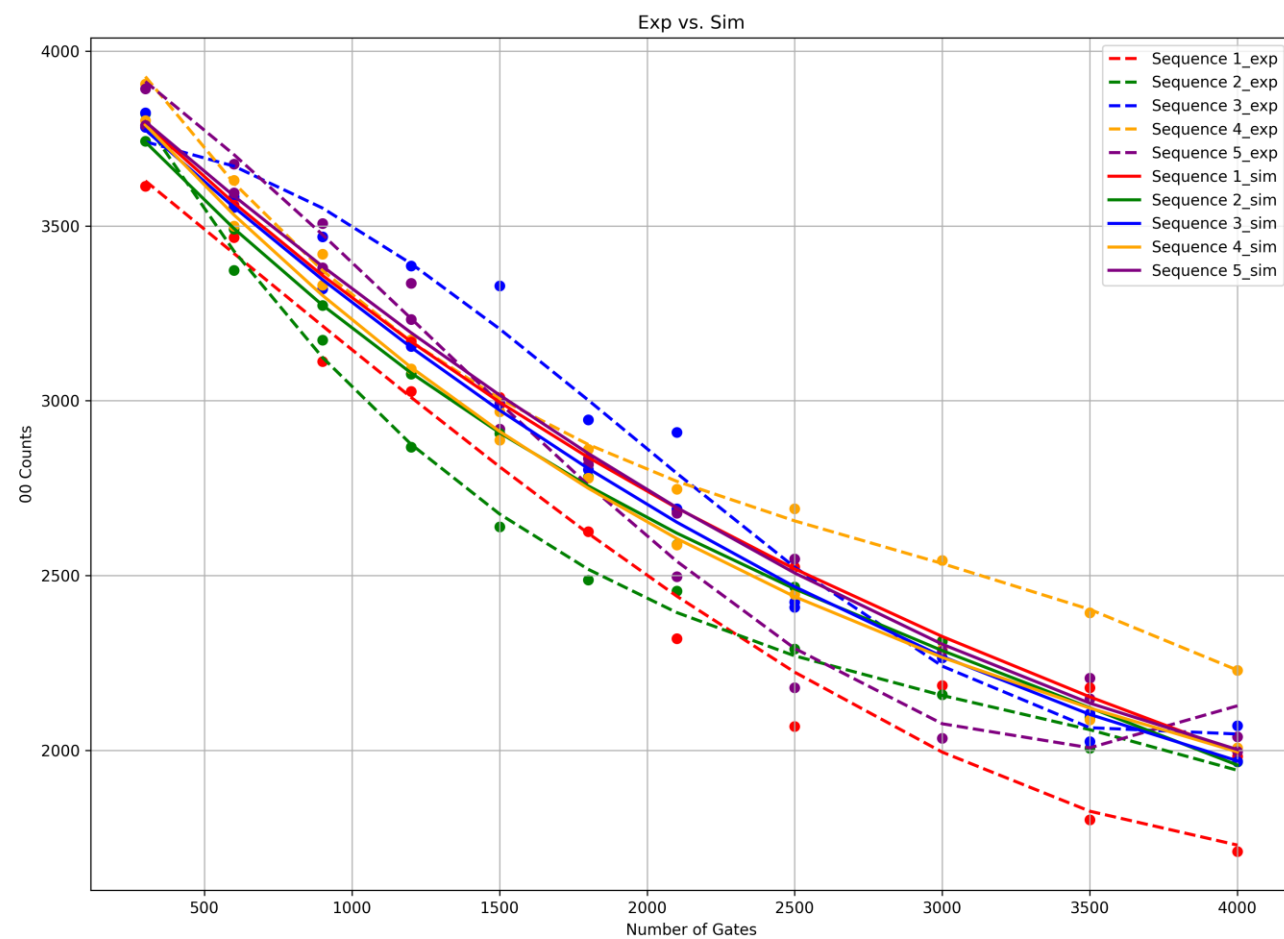
# 平均结果比较 (准度)



# 平均结果比较 (散度) relax



# 平均结果比较（散度） 无relax



## 小结

- 一、测量噪声：由于两种测量误差的概率相近且数值较小，在仿真结果中添加测量错误与不添加基本看不出区别。

```
Prob_meas0_prep1_q107 = 0.01  
Prob_meas1_prep0_q107 = 0.0066
```

$$0.0034 * 4096 \approx 14$$

- 二、与relax模型相比，无relax模型的平均值更接近实验值，但无法严格证明（由于噪声时变）。
- 三、由于仿真参数固定，仿真结果数值相对集中，在散度上与实验结果有较大差距。
- 四、串扰的影响比较小，实验的平均曲线并没有与仿真平均曲线相差多少。

# 噪声时间摆动

- 从实验结果得出，不同门序列的实验结果曲线会较大的上下摆动。理论上，门的序列的不同并不会造成如此大的摆动，所以我们考虑噪声是随时间变化的而不是一个固定的参数。IBM的calibration也证明了这一点：

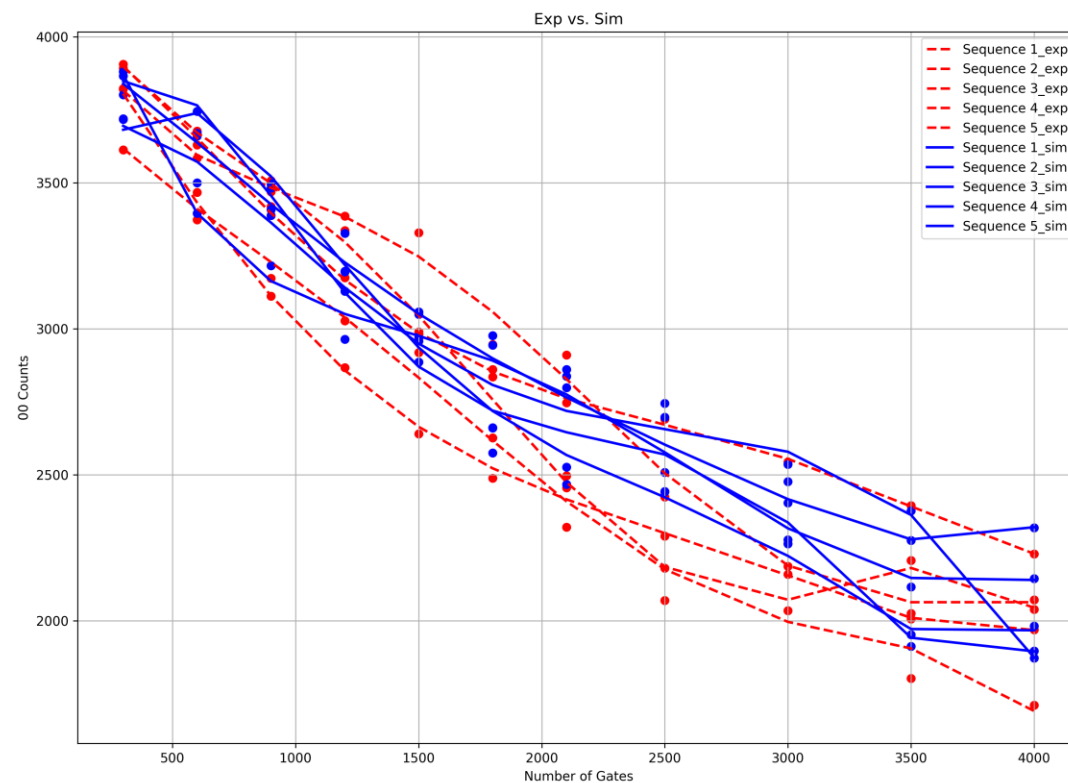
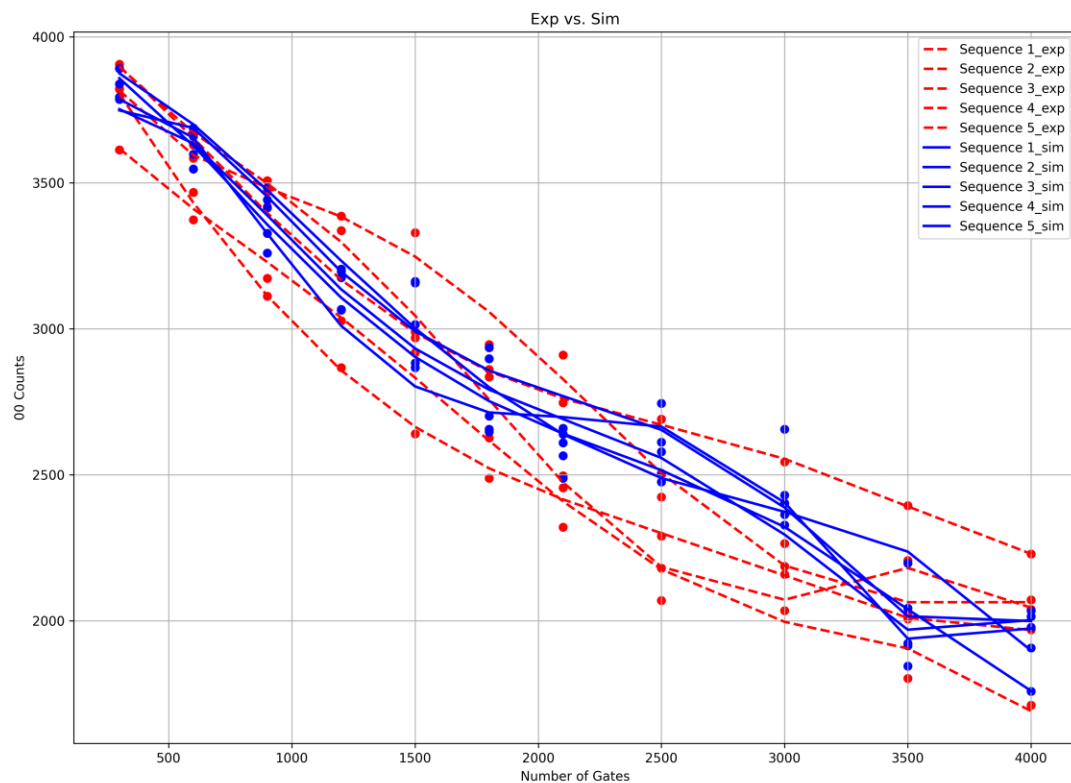
```
T1_q107 = 2.7544e-04  
T2_q107 = 2.7484e-04  
T1_q108 = 1.7391e-04  
T2_q108 = 7.212e-05  
F_q107 = 0.9998789  
F_q108 = 0.999795'''
```

```
T1_q107 = 3.116e-04  
T2_q107 = 2.8476e-04  
T1_q108 = 1.2298e-04  
T2_q108 = 7.173e-05  
F_q107 = 0.9997854  
F_q108 = 0.9997749'''
```

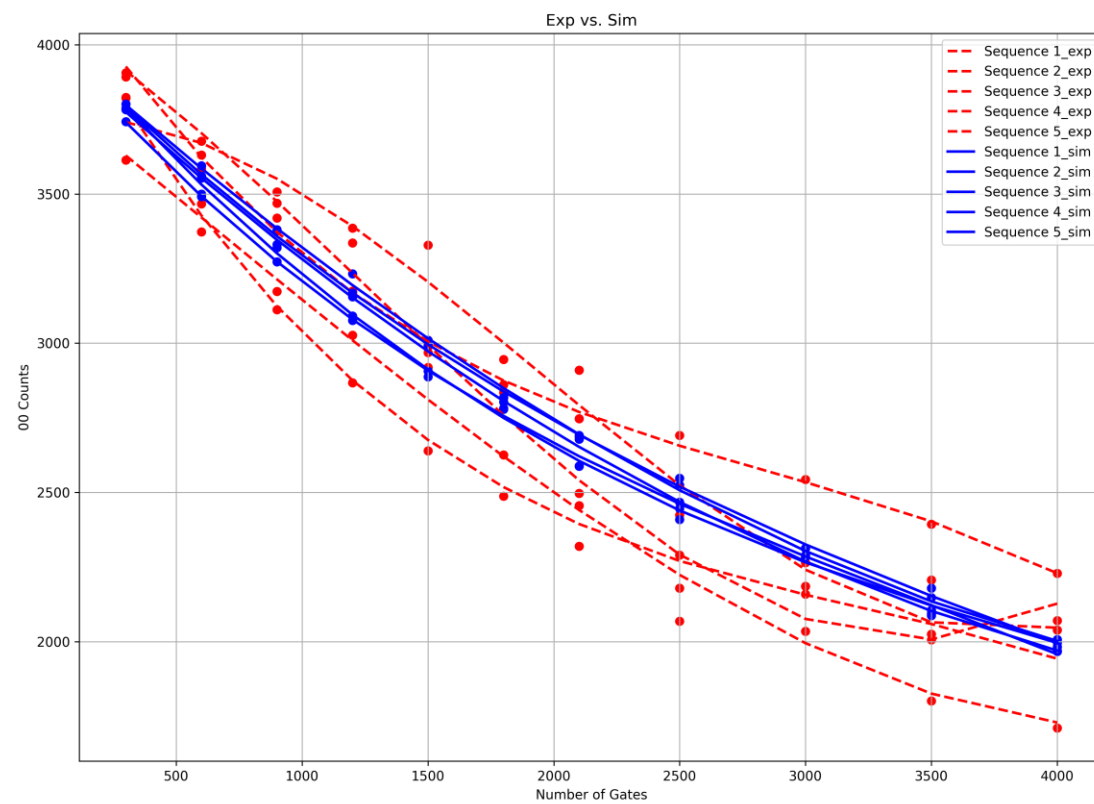
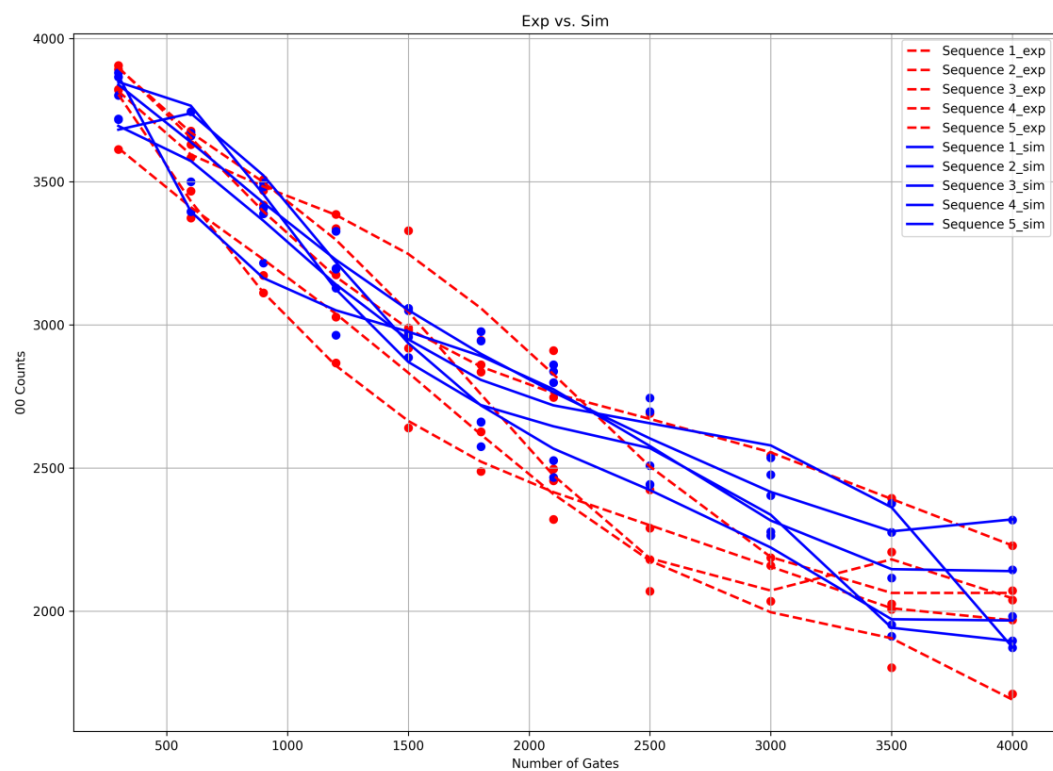
- 在不同时段的calibration结果显示，同一量子比特的基础门错误率可以相差1.7倍。

# 噪声时间摆动模型

- 基于以上事实，尝试让噪声参数进行一定范围内摆动，仿真结果如下：



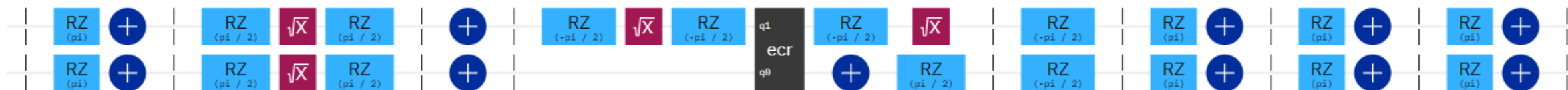
# 噪声时间摆动模型与无时间摆动模型比较



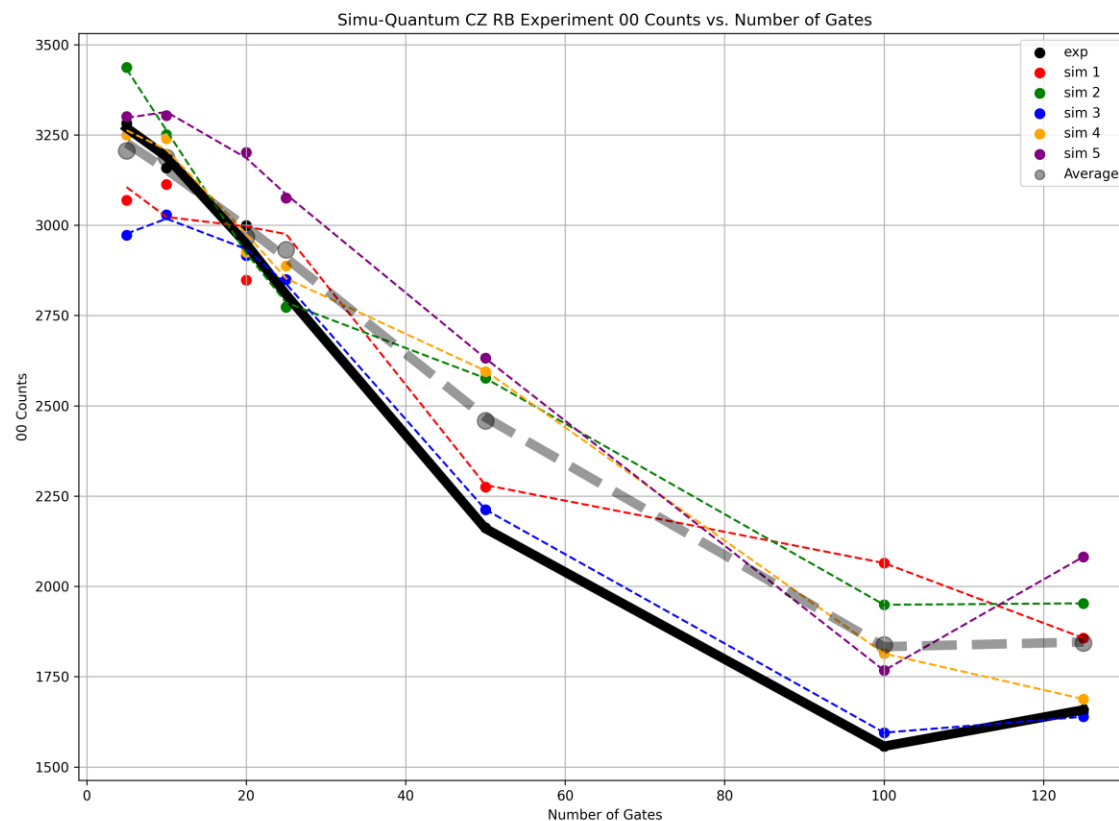


# 双比特量子门插入实验

- 在一固定序列固定长度的随机单比特量子门序列中，均匀插入一定个数的双比特门，在电路末尾同样加入反门，测量00状态的个数。



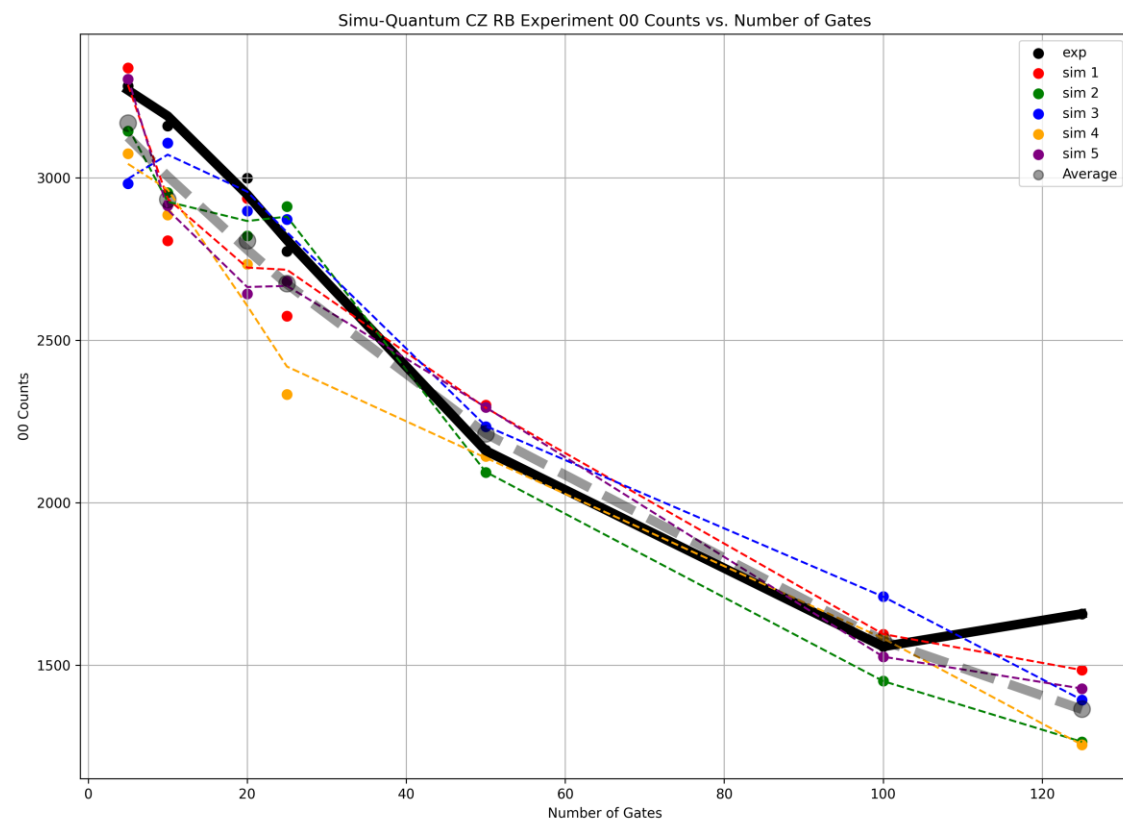
# 双比特门实验与仿真（无relax）对比



- 该仿真添加了噪声时变模型，横坐标是CZ门的个数。

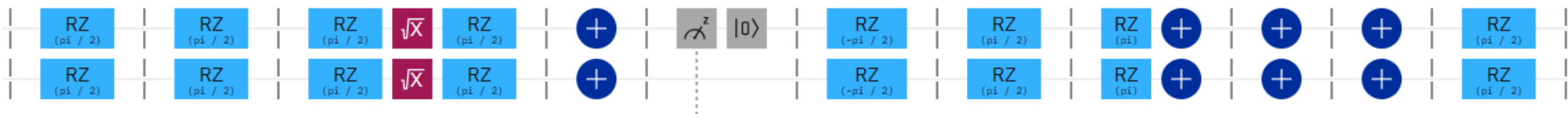
# 泄漏参数的添加仿真结果

- 由于，平均结果与实验结果差距较大，考虑CZ门的泄漏事件影响，添加 $p_{\text{leak\_cz}} = 0.005$ 参数。



# ID噪声实验

- 在surface code中，由于辅助量子比特在measure和reset时，数据量子比特通常处于空转状态，此时数据量子比特非常容易退相干。于是设计实验来观察数据比特的错误率。仿照双比特门插入实验，在一固定序列固定长度的随机单比特量子门序列中，均匀插入一定个数的measure和reset操作，数据量子比特加入反门，测量0状态个数。



# ID噪声实验结果

```
0 Sequences
Job ID:cvc7nnp7drg008sgrs0:Quantum RB Experiment with 5 num_measure: {'0': 2012, '1': 2084}Z-1 Z1
Job ID:cvc5n6vawwg00890xmg:Quantum RB Experiment with 8 num_measure: {'0': 1208, '1': 2888}Z-1 Z1
Job ID:cvcdt2rvawwg008918d0:Quantum RB Experiment with 10 num_measure: {'0': 2271, '1': 1825}X1 X1
Job ID:cvcdy088w2g0008e8vhg:Quantum RB Experiment with 16 num_measure: {'0': 669, '1': 3427}Z-1 Z1
Job ID:cvcdygtvawwg008918r0:Quantum RB Experiment with 20 num_measure: {'0': 2164, '1': 1932}Y-1 Y1
Job ID:cvcdzheW5350008wxyeg:Quantum RB Experiment with 25 num_measure: {'0': 3736, '1': 360}Z1 Z-1
Job ID:cvcga1gp7drg008shqpg:Quantum RB Experiment with 25 num_measure: {'0': 3660, '1': 436}

1 Sequence:
Job ID:cvcghbnw5350008wy520:Quantum RB Experiment with 5 num_measure: {'0': 1695, '1': 2401}Z-1 X1
Job ID:cvcgj0rw5350008wy530:Quantum RB Experiment with 8 num_measure: {'0': 2366, '1': 1730}Y-1 Y-1
Job ID:cvcgjmtz17rg008d2tzg:Quantum RB Experiment with 10 num_measure: {'0': 3192, '1': 904}Z1 X-1
Job ID:cvcgka5z17rg008d2v10:Quantum RB Experiment with 16 num_measure: {'0': 2065, '1': 2031}X1 Z1
Job ID:cvcgm1rvawwg00891ff0:Quantum RB Experiment with 20 num_measure: {'0': 2223, '1': 1873}Y-1 Y-1
Job ID:cvcgmvkz17rg008d2v5g:Quantum RB Experiment with 25 num_measure: {'0': 2122, '1': 1974}X-1 Z-1

2 Sequence:
Job ID:cvcgnqe8w2g0008e9350:Quantum RB Experiment with 5 num_measure: {'0': 2483, '1': 1613}Z1 X-1
Job ID:cvcgpa9kmd10008pn6kg:Quantum RB Experiment with 8 num_measure: {'0': 1959, '1': 2137}X-1 Z-1
Job ID:cvcgpybkmd10008pn6mg:Quantum RB Experiment with 10 num_measure: {'0': 2028, '1': 2068}X1 Z1
Job ID:cvcgqkevawwg00891fr0:Quantum RB Experiment with 16 num_measure: {'0': 2246, '1': 1850}X1 Z1
Job ID:cvcgrbsz17rg008d2vbg:Quantum RB Experiment with 20 num_measure: {'0': 2372, '1': 1724}Y-1 Y-1
Job ID:cvcgs648w2g0008e938g:Quantum RB Experiment with 25 num_measure: {'0': 1996, '1': 2100}X-1 Z-1
```

- 无法得出有效结论，猜测是因为measure和reset操作带入了其他噪声导致结果难以解释。

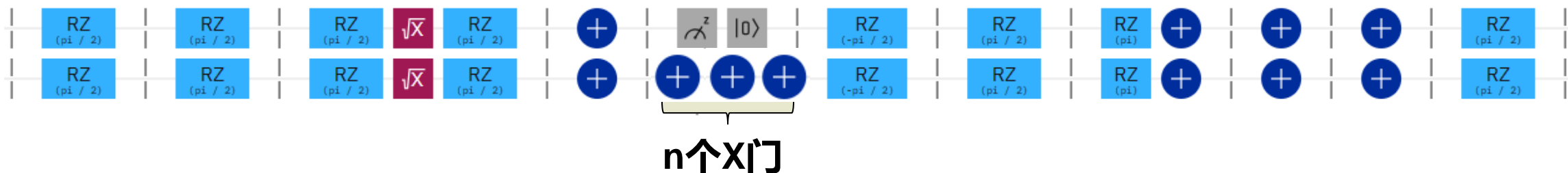
# ID噪声实验结果

- **measure与reset的操作时间理应为** `reset_t = 1.3013333333333333e-06`  
`readout_t = 1.2444444444444443e-06` **该结果由IBM给出，可实际实验中发现，每多添加一次measure与reset的操作，实验时间大概会增加2s。**

<input type="checkbox"/>	cvcgmvkz17rg008d2v5g	✔ Completed	05 Sep 2024	05 Sep 2024	48s
<input type="checkbox"/>	cvcgm1rvawwg00891ff0	✔ Completed	05 Sep 2024	05 Sep 2024	40s
<input type="checkbox"/>	cvcgka5z17rg008d2v10	✔ Completed	05 Sep 2024	05 Sep 2024	33s
<input type="checkbox"/>	cvcgjmtz17rg008d2tzg	✔ Completed	05 Sep 2024	05 Sep 2024	21s
<input type="checkbox"/>	cvcgj0rw5350008wy530	✔ Completed	05 Sep 2024	05 Sep 2024	18s
<input type="checkbox"/>	cvcghbnw5350008wy520	✔ Completed	05 Sep 2024	05 Sep 2024	12s

# ID噪声干预

- 为了减少ID噪声对数据比特的影响，我们可以在辅助比特measure与reset期间对数据比特添加一定数量的X门以防止数据比特进入空转状态。可以做实验验证该方法的测量结果



- 由于每月的使用时间限制，只能等下一个月再做实验。

## Workloads

Track the status and results of the workloads you have run on IBM Quantum resources via the instance `ibm-q/open/main`.

Monthly usage

10m 2s used / 10m

### **三、模型验证方式**

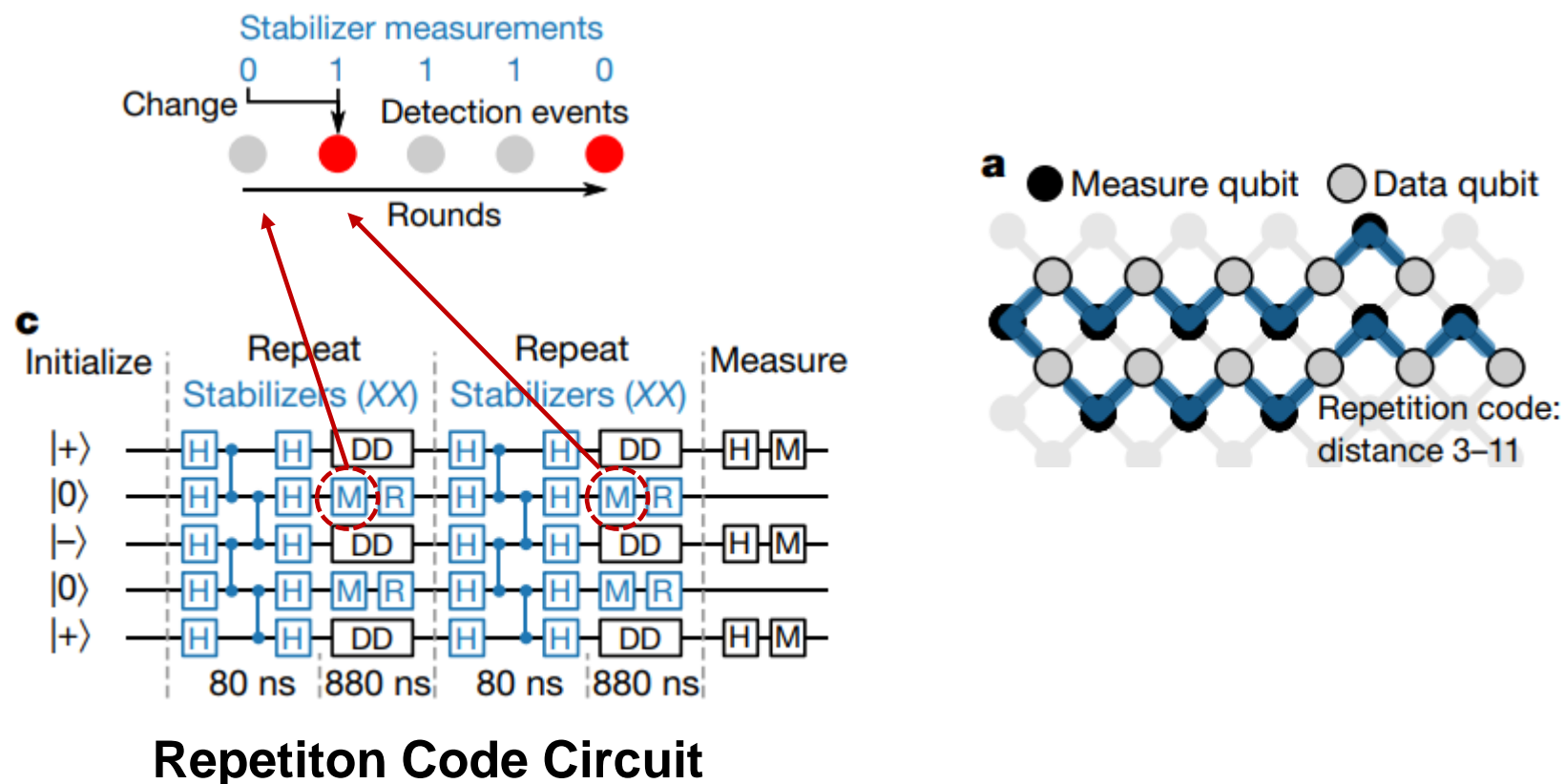


# Detection Event

- 用于纠错码解码的数据，实际为每一轮测量子的测量结果
- 判断噪声模型是否有效，可看其所产生的测量子症状的样式，是否与实验获得的一致，这可以通过分析Detection Event的统计性质实现

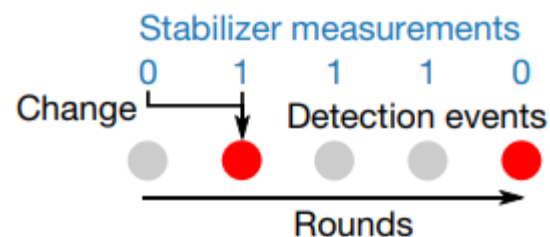
# Detection Event

- Detection Event (Error) 表示前后两次测量量子测量结果不一致的事件

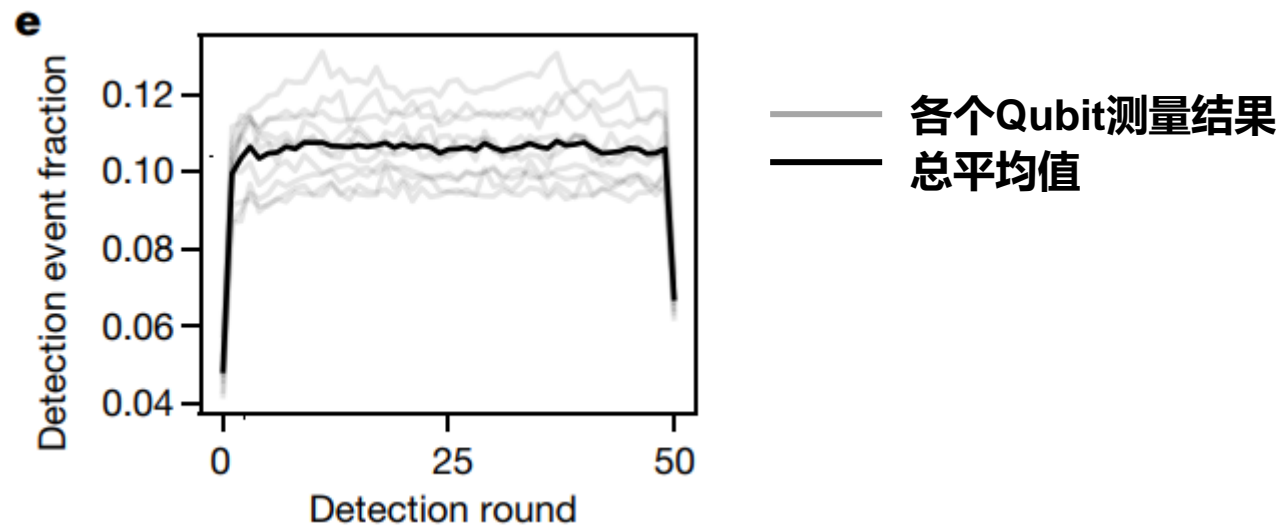


# Detection Event

- Detection Event表示前后两次测量量子测量结果不一致的事件

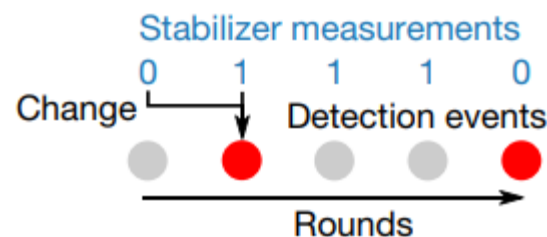


- Detection Event Fraction表示发生此种事件的次数占总实验次数的比率



# Detection Event

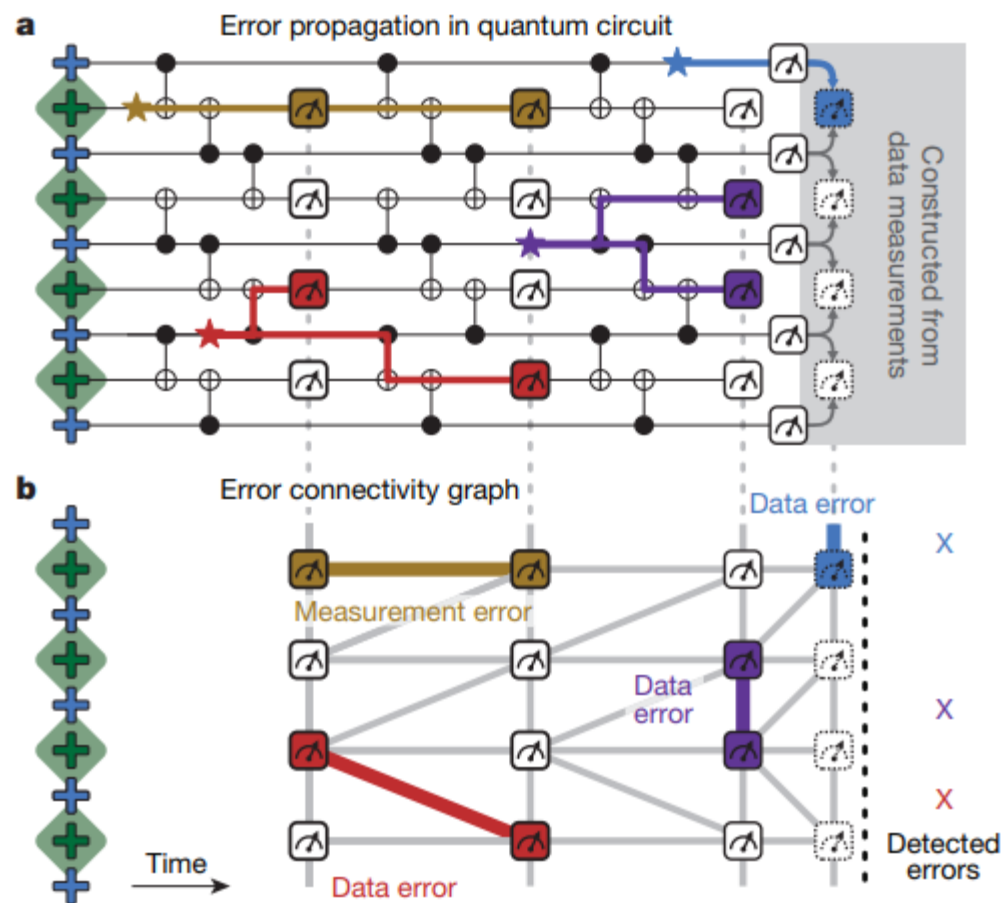
- Detection Event表示前后两次测量子测量结果不一致的事件



- 由于每一轮结束后测量子都会重新置零，测量结果不一致表示两次测量间有错误发生，其中，错误可分为三种类型

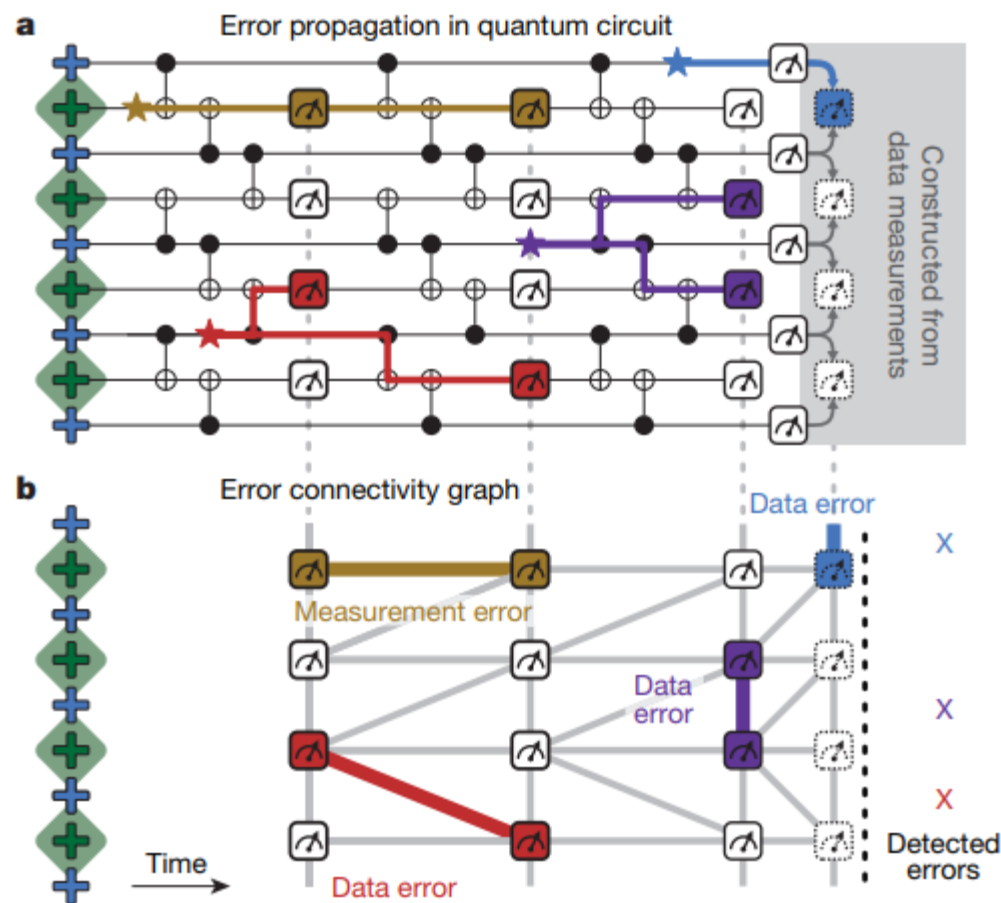
## Detection Pair错误类型

- 错误可分为三种类型，分别是spacelike pair, timelike pair, 和spacetimelike pair
- Spacelike pair表示由于data qubit出现错误，同一轮中相邻两个测量子的测量结果发生改变，即发生detection error，如右图紫色线条所示



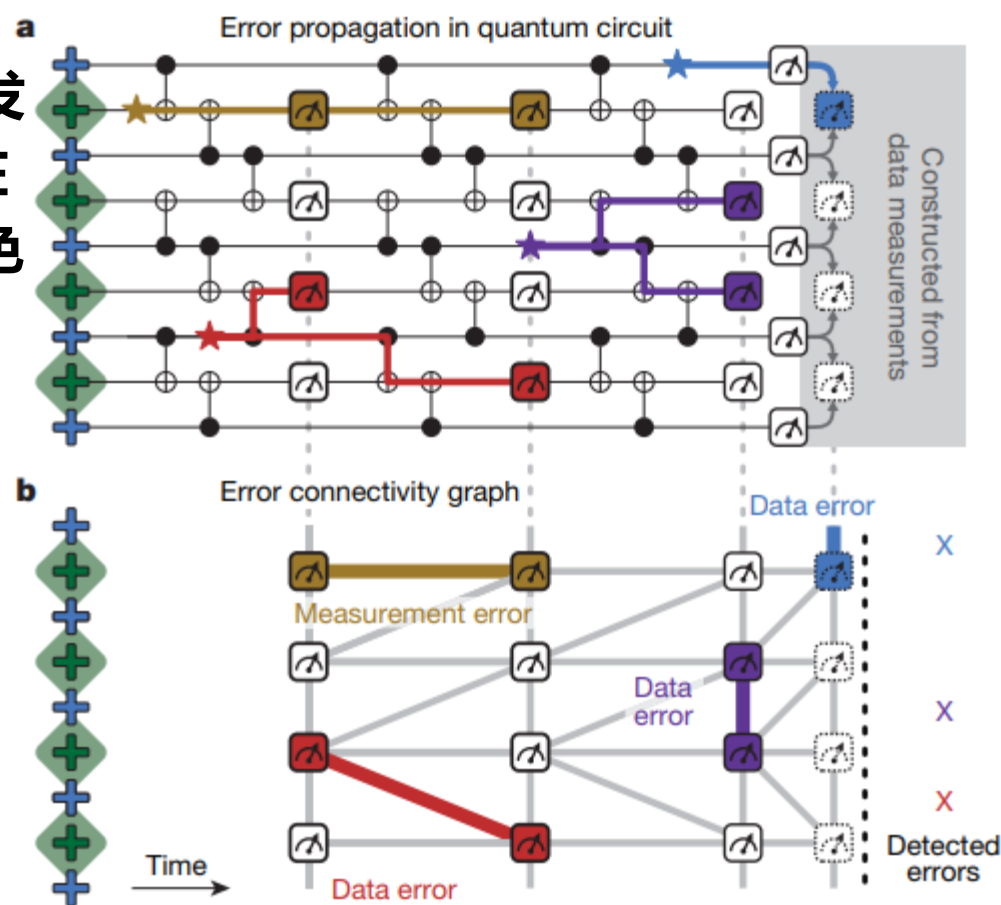
# Detection Pair错误类型

- 错误可分为三种类型，分别是spacelike pair, timelike pair, 和spacetimelike pair
- Timelike pair表示由于measure qubit发生错误，其测量的结果在连续两轮出现detection errors，如右图棕色线条所示



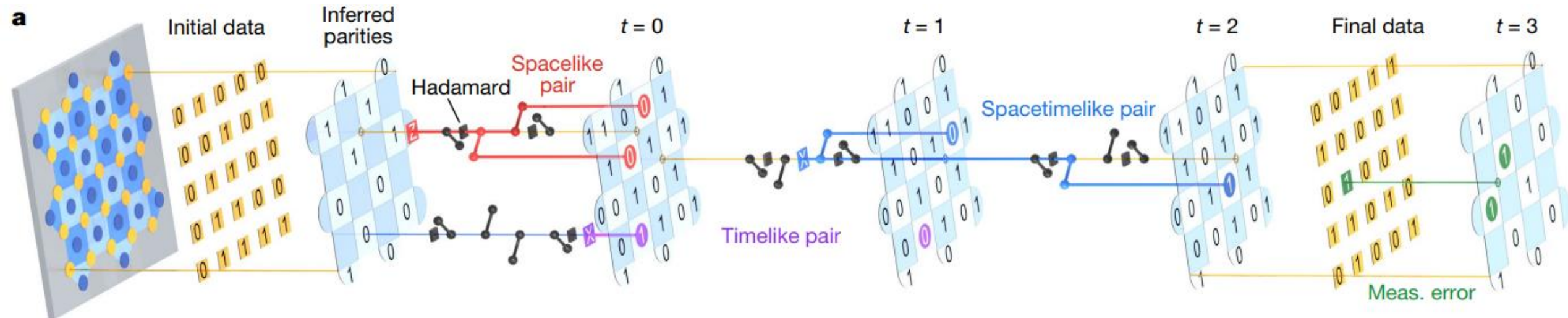
# Detection Pair错误类型

- 错误可分为三种类型，分别是spacelike pair, timelike pair, 和spacetimelike pair
- Spacetimelike pair表示data qubit在czl门间发生错误，该错误使得测得的detected errors在空间和时间上都有1个单位的偏移，如右图红色线条所示



# Detection Pair错误类型

- 与Repetition Code一致，Surface Code也存在三种pair error





# Correlations in error detection events

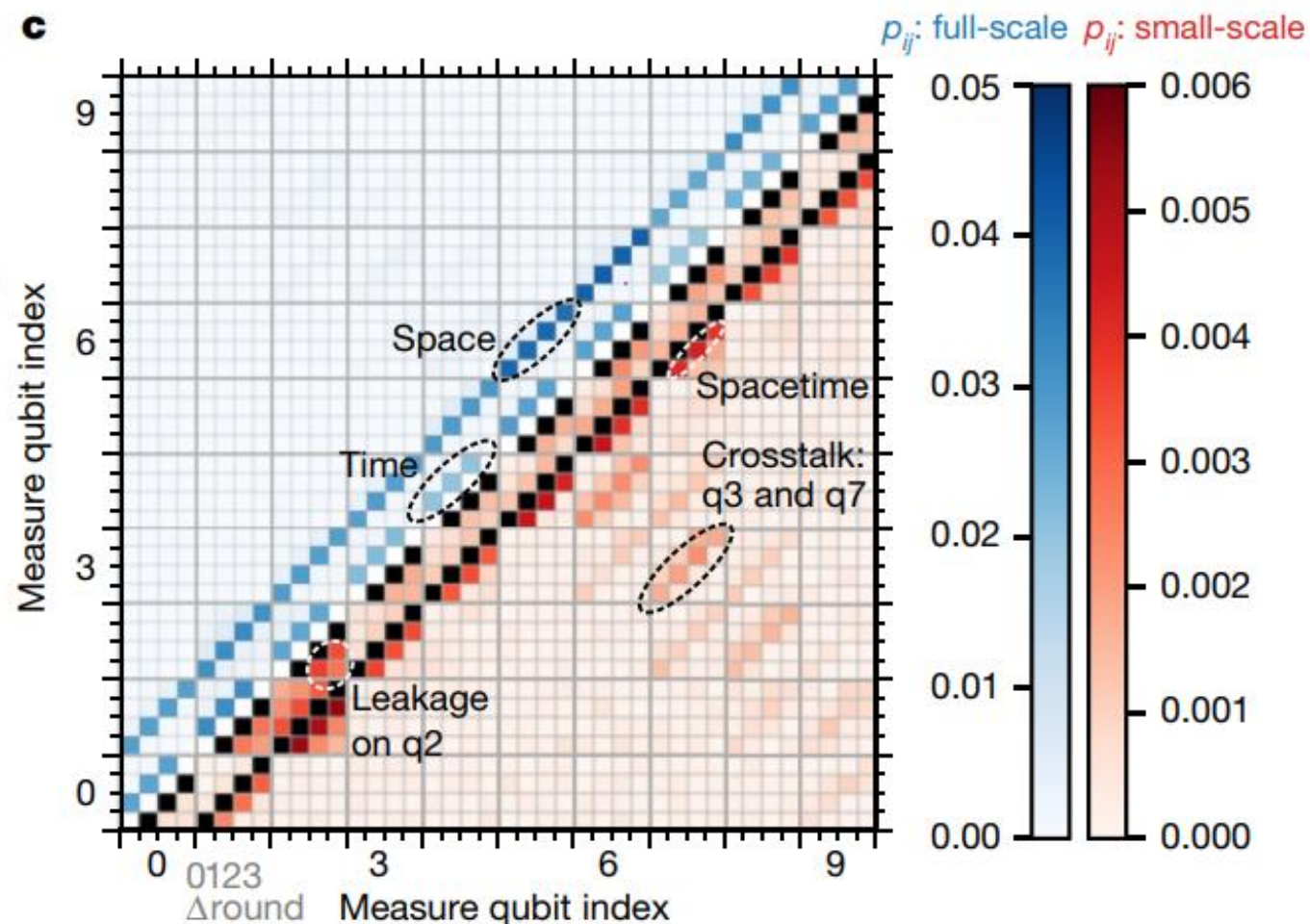
- 对于不同qubit在不同轮的测量结果，可以用如下公式判断其相关性：

$$p_{ij} \approx \frac{\langle x_i x_j \rangle - \langle x_i \rangle \langle x_j \rangle}{(1 - 2\langle x_i \rangle)(1 - 2\langle x_j \rangle)},$$

- $\langle x_i \rangle$ 表示索引为*i*的事件发生detection error的概率， $\langle x_i x_j \rangle$ 表示索引为*i*和索引为*j*的事件在同一次实验中发生detection error的概率

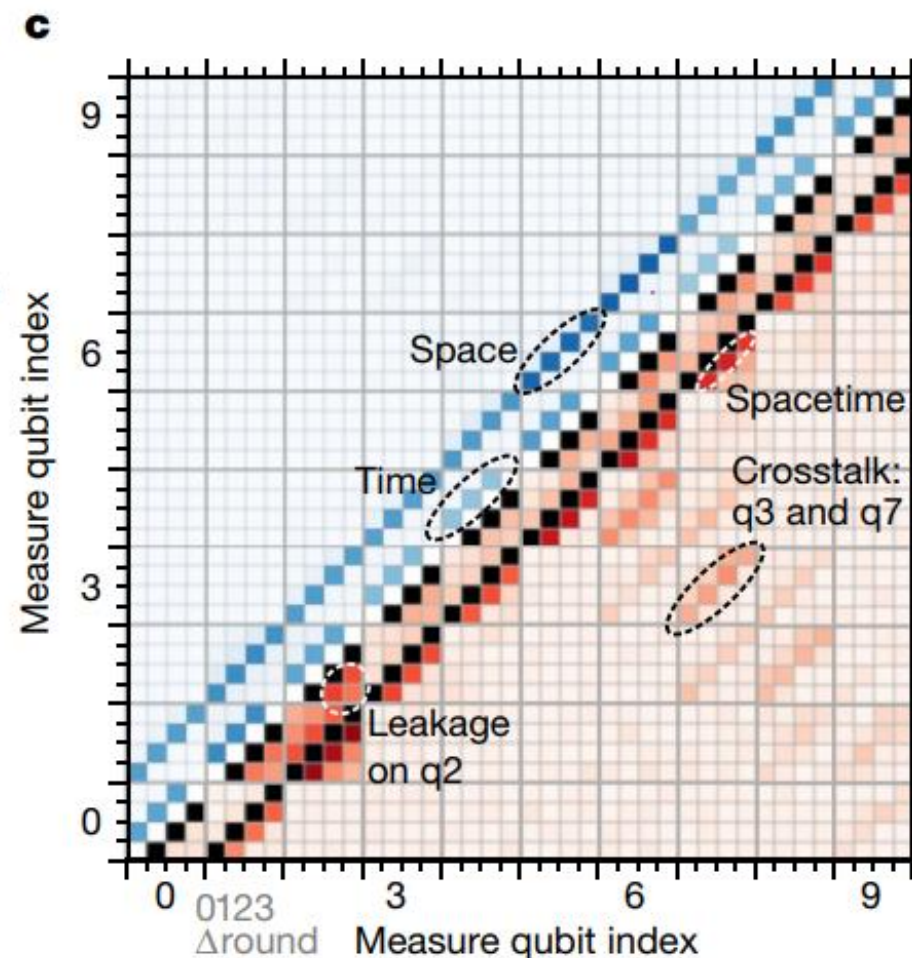
# Correlations in error detection events

- Google对于21比特Repetition Code的实验结果如图



# Correlations in error detection events

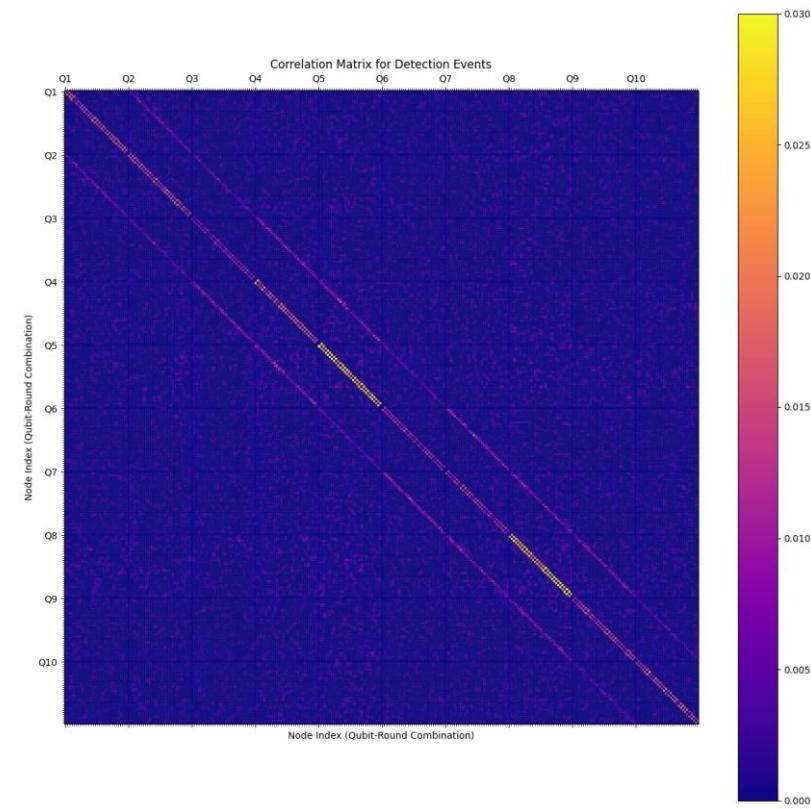
- 从图中可以看出，主要错误确实为spacelike pair, timelike pair, 和spacetime pair三种类型
- 然而，还存在一定程度的串扰和泄露
- 串扰表现为不同qubit间存在的相关性
- 由于Google测得的泄露可能会持续八个周期，因此，泄露表现为额外的spacetime error



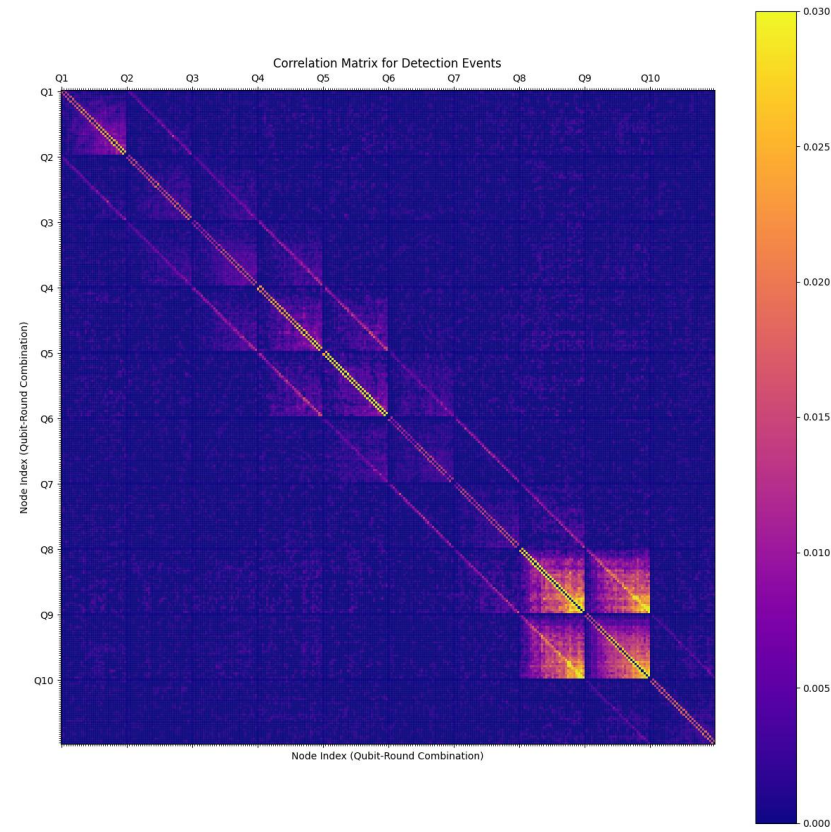


# Correlation Matrix仿真与实验比较

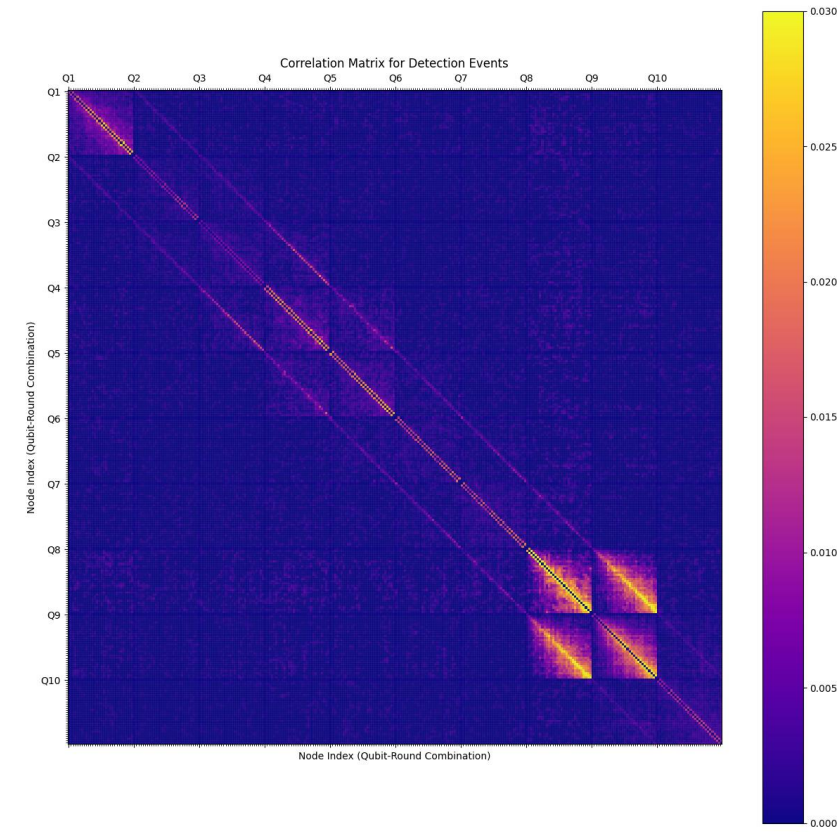
## ● 不含泄露仿真结果



## ● 含泄露仿真结果

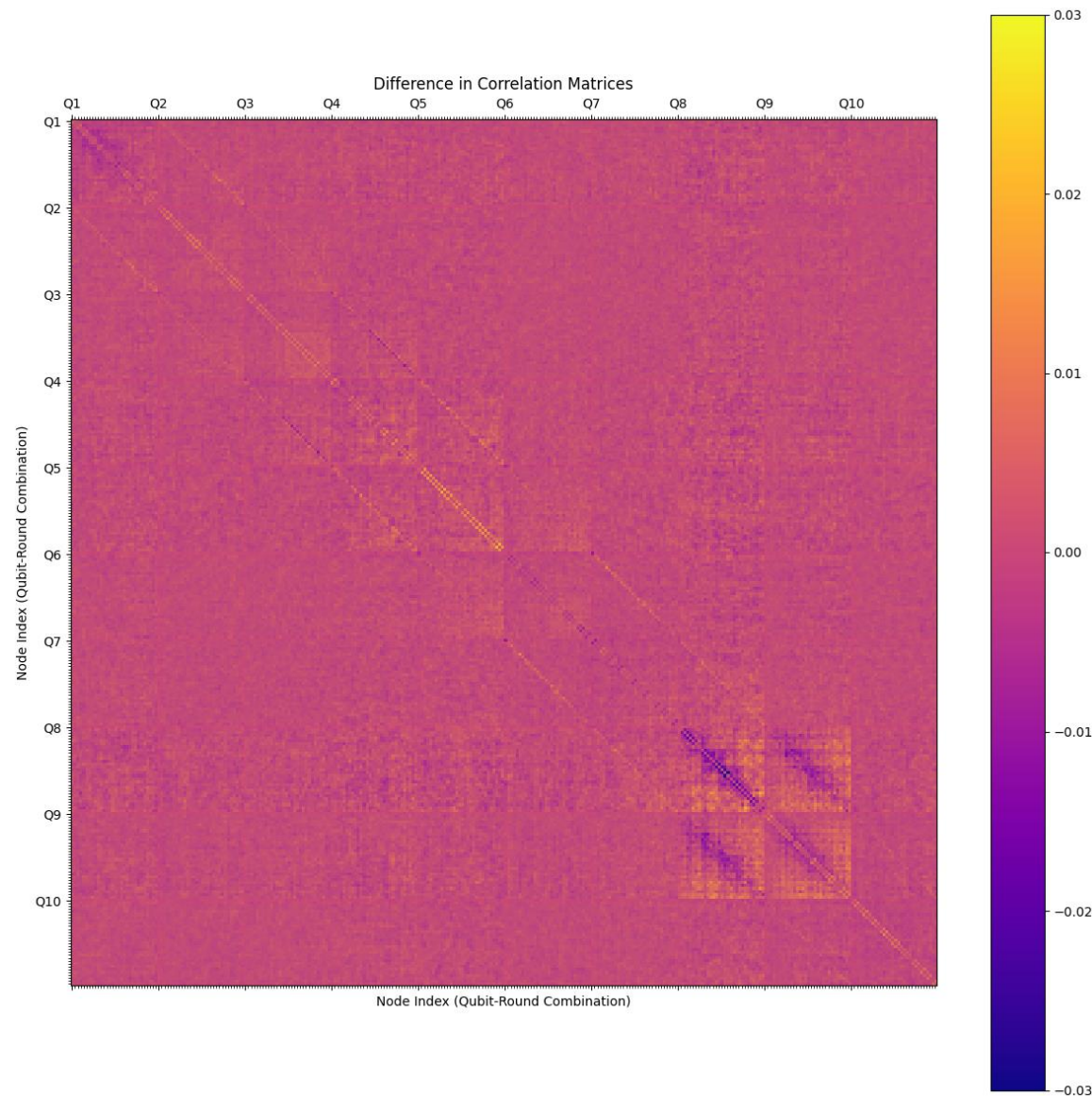


## ● IBM实验结果



# Correlation Matrix比较

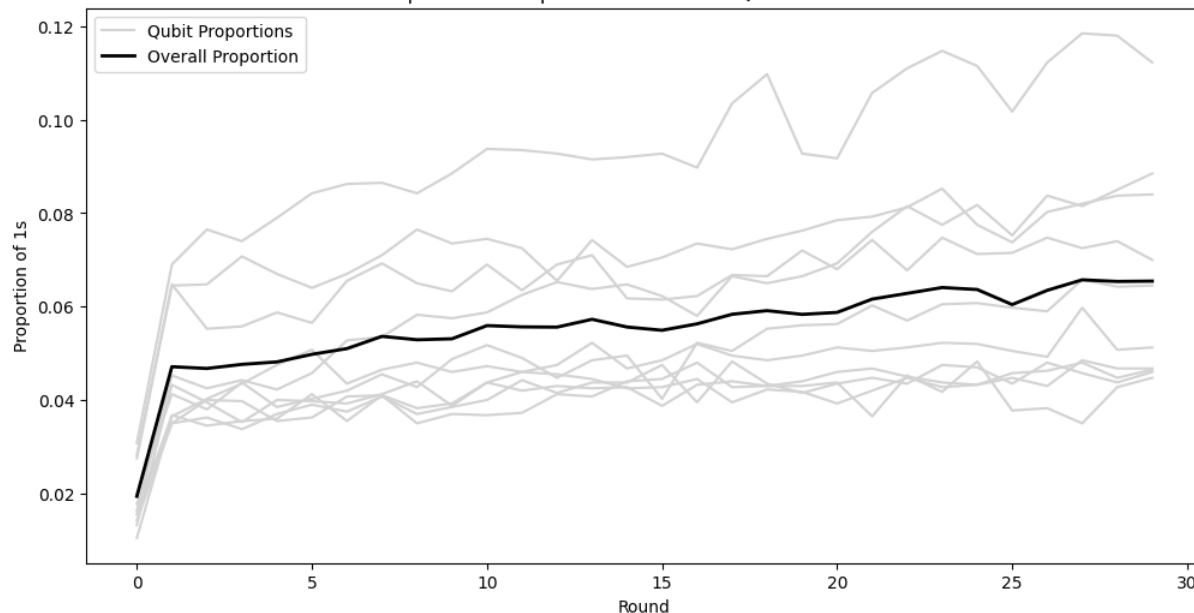
- 将含泄露仿真结果与ibm实验结果做差, 得到difference matrix如右图
- 泄露回退概率的参数还需进一步优化



# Detection Event Fraction比较

## ● 含泄露仿真结果

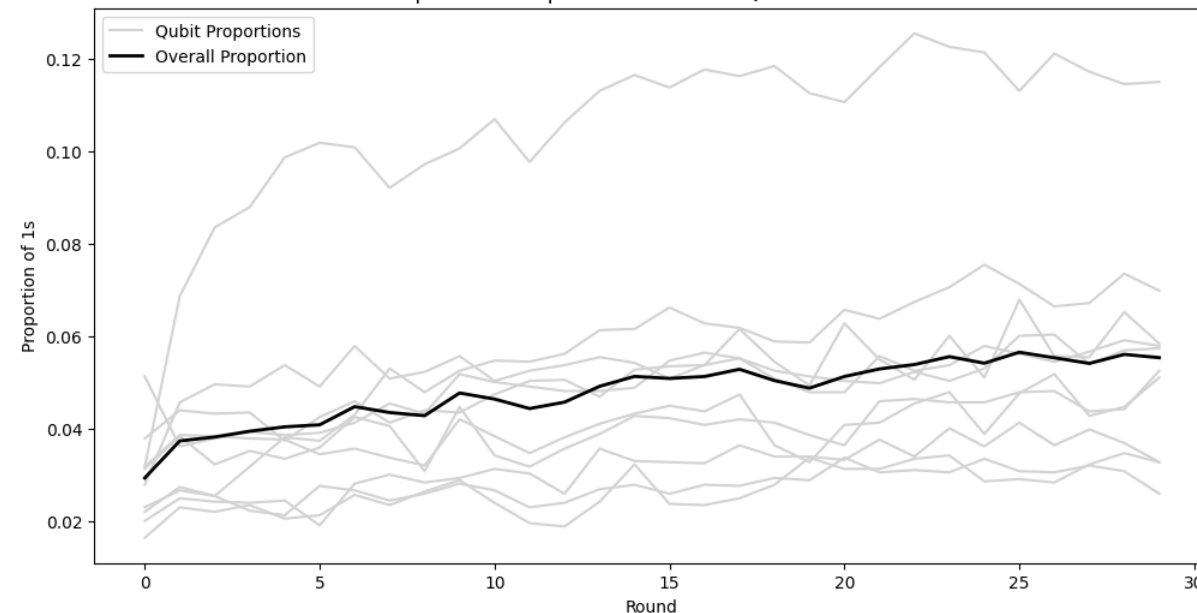
Proportion of 1s per Round for Each Qubit and Overall



```
{'Qubit 8': 0.09361666666666667,  
'Qubit 5': 0.072475,  
'Qubit 4': 0.065475,  
'Qubit 9': 0.06305,  
'Qubit 1': 0.05020833333333333,  
'Qubit 7': 0.04731666666666667,  
'Qubit 10': 0.04168333333333332,  
'Qubit 2': 0.04138333333333334,  
'Qubit 3': 0.04130833333333332,  
'Qubit 6': 0.03944166666666667}
```

## ● IBM实验结果

Proportion of 1s per Round for Each Qubit and Overall



```
{'Qubit 8': 0.10535481770833334,  
'Qubit 9': 0.05550944010416667,  
'Qubit 4': 0.0536376953125,  
'Qubit 1': 0.0494873046875,  
'Qubit 5': 0.049365234375,  
'Qubit 6': 0.04047037760416667,  
'Qubit 7': 0.04029947916666666,  
'Qubit 3': 0.0315185546875,  
'Qubit 10': 0.027587890625,  
'Qubit 2': 0.026619466145833333}
```

## 四、模型优化（进行中）

## 参数优化——目标函数

- 为使得仿真模型与实验结果的correlation matrix相符，需优化泄露概率与回退概率参数，现选用如下两个目标函数，对参数进行优化
- 1. 对仿真与实验所得的correlation matrix的差值，除开time error外，取绝对值求和，这可以保证幅度上的一致性

$$\textit{Summed Difference} = \sum_{i,j \in \textit{leakage}} |p_{ij,\textit{simulation}} - p_{ij,\textit{experiment}}|$$



## 参数优化——目标函数

- 2. 对仿真与实验所得的correlation matrix的差值，计算期望坐标，并取期望坐标与中心坐标的差值，这可以保证时间分布上的一致性

*Expectation Coordinates*

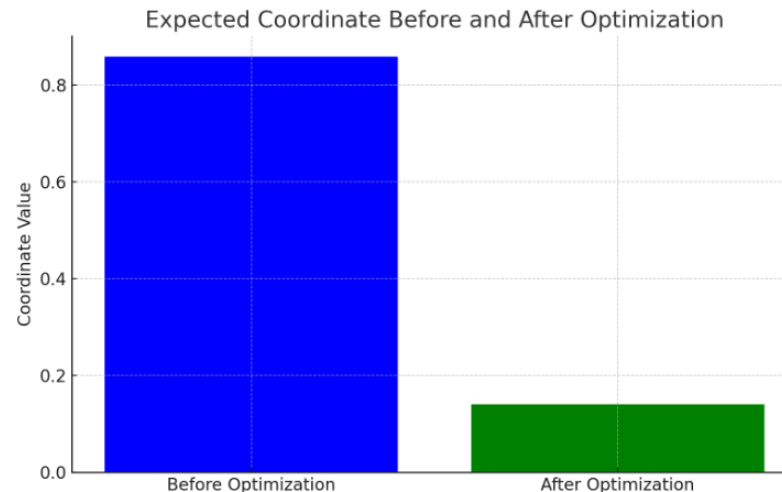
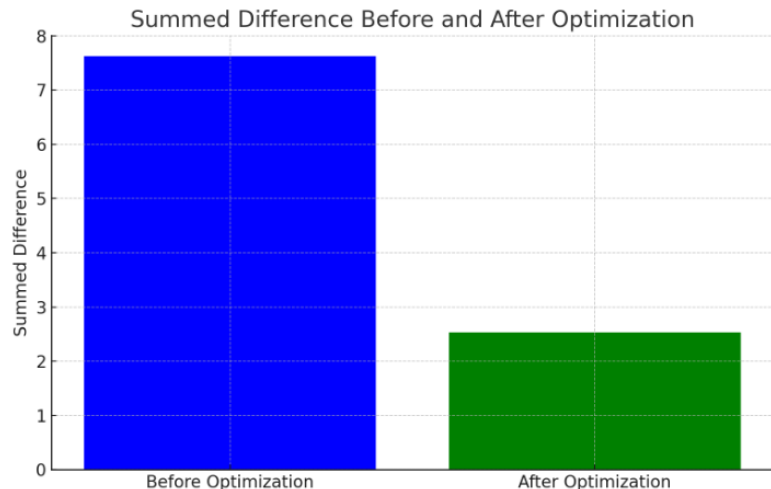
$$= i \times \sum_j (p_{ij, \text{simulation}} - p_{ij, \text{experiment}}) - \textit{Centre Coordinates}$$

# 优化方法——NSGA-II

- **NSGA-II (非支配排序遗传算法 II)**
- **多目标优化需要找到一组解，代表不同目标之间的折中。在 NSGA-II 中，这组解被称为帕累托前沿 (Pareto Front)**
- **如果解 A 在所有目标上都不比解 B 差，且在至少一个目标上优于解 B，则称解 A 支配解 B。NSGA-II 使用帕累托支配来对解进行分类，并构建帕累托前沿**
- **之后通过遗传算法，不断更替种群，获取最优的帕累托前沿**

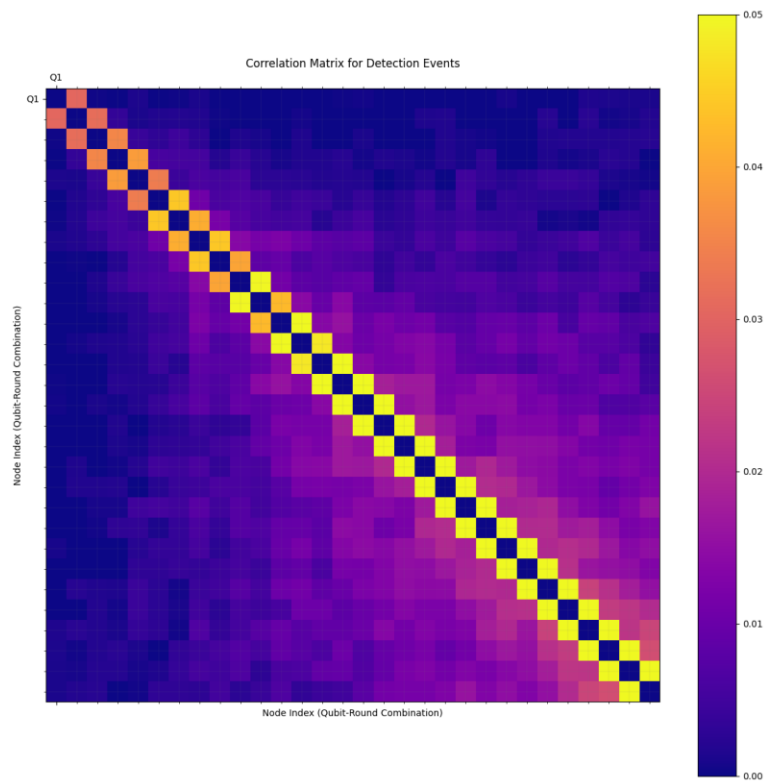
# 优化前后目标函数值比较

- 针对泄露较严重的第八个测量比特优化测试
- 优化前: Summed Difference = 7.628512617144899  
Expected Coordinates = (0.8587915521387597, 0.8587915521387597)
- 优化后: Summed Difference = 2.5290688674622577  
Expected Coordinates = (0.14066906870603013, 0.14066906870603013)

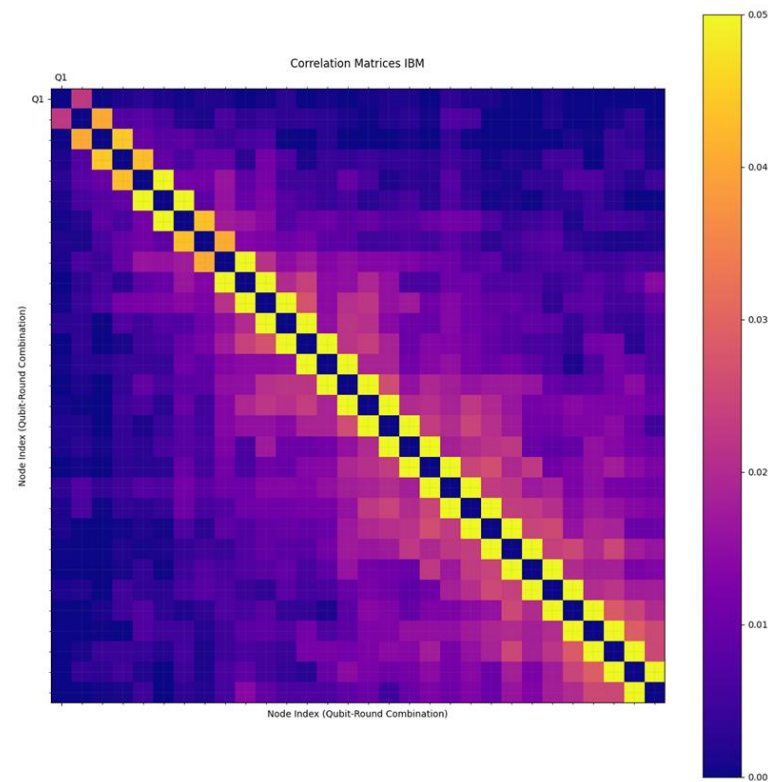


# 仿真与实验Correlation Matrix比较

- 优化后仿真结果



- 实验结果



## 五、其它验证电路

# 验证电路选择

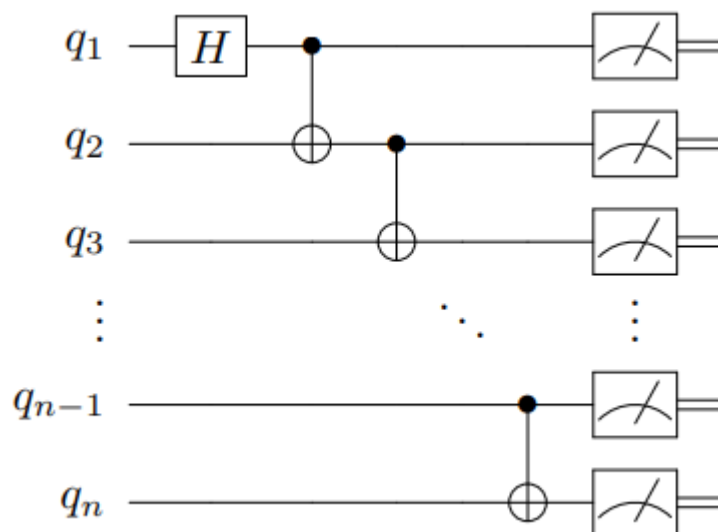
- GHZ-state preparation
- Quantum Random Walk

# GHZ-state preparation

- GHZ态为一种特定的纠缠态

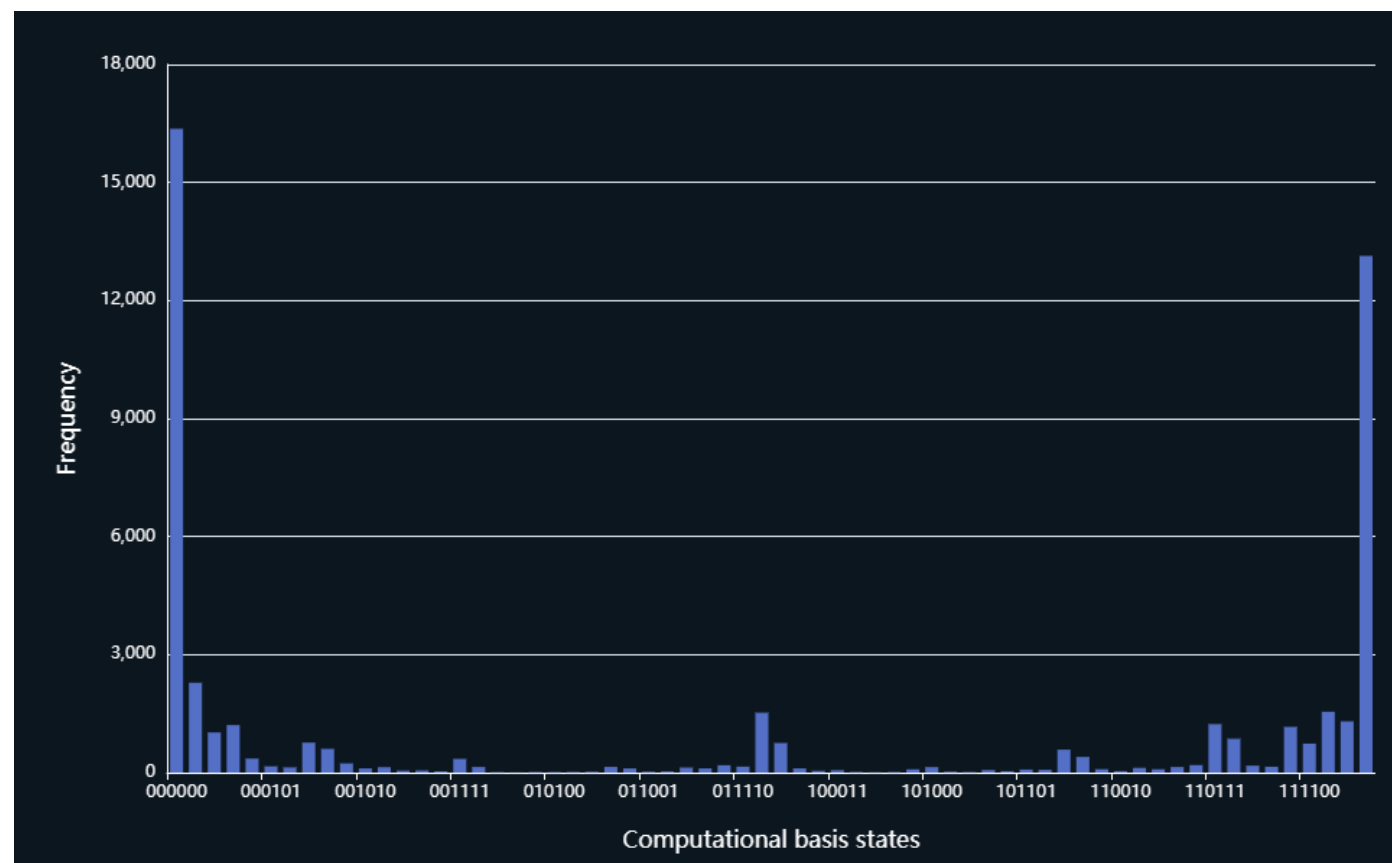
$$|\text{GHZ}(n)\rangle = \frac{1}{\sqrt{2}} (|0_1, 0_2, \dots, 0_n\rangle + |1_1, 1_2, \dots, 1_n\rangle)$$

- 其制备电路仅涉及H门和CX门:



# GHZ-state preparation on Quafu

- 在Quafu Baiwang (原SC-Q136) 上运行6比特GHZ态制备, 理论上仅有000000和111111态, 实际结果如下:





# 结果比较方法

- 实质上是比较噪声模型结果和真实实验结果的概率分布，可用统计学上两分布间距离表示
- Total Variation Distance总变差：

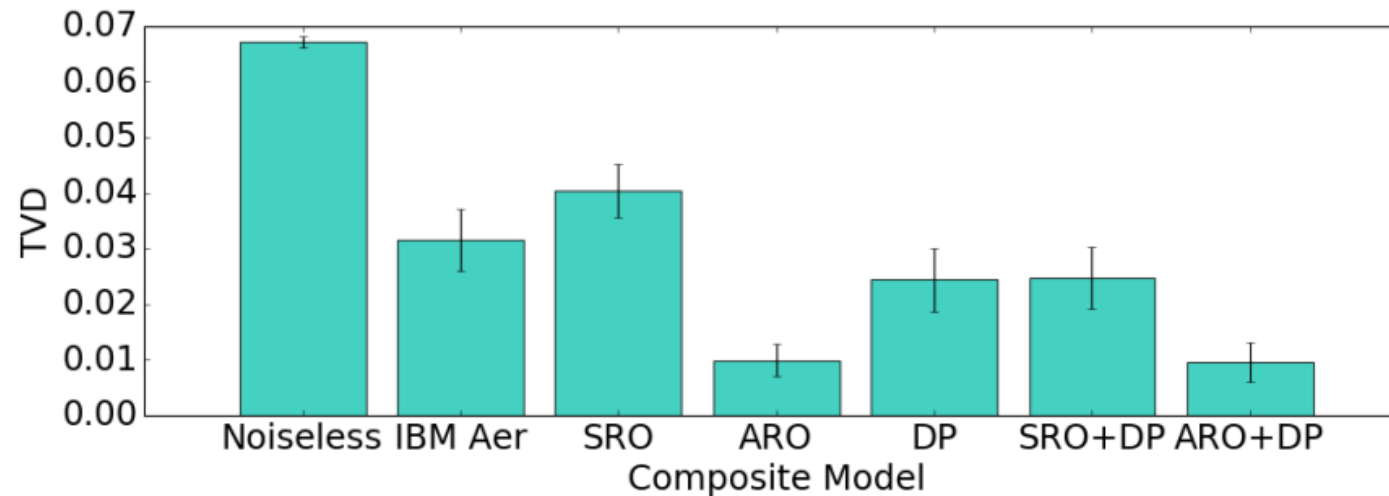
$$d_{\text{TV}}(H_i, M_i) = \frac{1}{2} \sum_k \left| f_k(H_i) - f_k(M_i) \right|$$

- 其中， $f_k(H_i)$ 表示在验证电路中观察到第k个结果的频率， $f_k(M_i)$ 表示在噪声模型中观察到第k个结果的频率

[7] M. L. Dahlhauser and T. S. Humble, "Modeling noisy quantum circuits using experimental characterization," in Phys. Rev. A, vol. 103, no. 4, pp. 042603, Apr. 2021, doi: 10.1103/PhysRevA.103.042603.

# Total Variation Distance

- 文章中, 考虑symmetric readout (SRO), asymmetric readout (ARO), depolarizing error (DP), 采用2比特GHZ态制备为测试电路, TVD结果:



[7] M. L. Dahlhauser and T. S. Humble, "Modeling noisy quantum circuits using experimental characterization," in Phys. Rev. A, vol. 103, no. 4, pp. 042603, Apr. 2021, doi: 10.1103/PhysRevA.103.042603.

# 结果比较方法

- Hellinger distance:

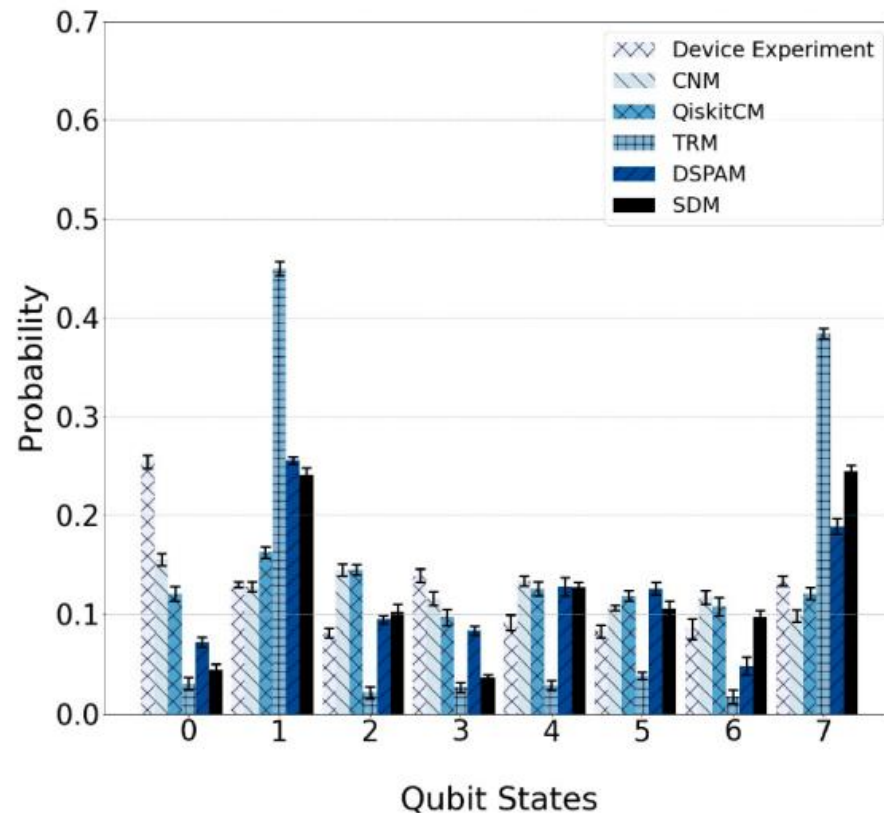
$$h(P, Q) = \frac{1}{\sqrt{2}} \sqrt{\sum_{i=1}^k (\sqrt{p_i} - \sqrt{q_i})^2}.$$

- 其中，概率分布为  $P = \{p_i\}_{i \in [s]}$ ,  $Q = \{q_i\}_{i \in [s]}$

[8] K. Georgopoulos, C. Emary, and P. Zuliani, "Modeling and simulating the noisy behavior of near-term quantum computers," in Phys. Rev. A, vol. 104, no. 6, pp. 062432, Dec. 2021, doi: 10.1103/PhysRevA.104.062432.

# Hellinger distance

- 文章中, 以3比特Quantum Random Walk为验证电路, 结果如图



UNM: unified noise model

QiskitCM: the Qiskit composite model

DSPAM: depolarizing and SPAM

TRM: relaxation and dephasing model

SDM: simple depolarizing model

# Hellinger distance

- Relation between total variational distance and Hellinger distance:
- For total variational distance :

$$\delta(p, q) = \frac{1}{2} \sum_j |p(j) - q(j)| .$$

- The relation is:

$$H^2(p, q) \leq \delta(p, q) \leq \sqrt{2}H(p, q)$$

[9] Harper, R., Flammia, S.T. & Wallman, J.J. Efficient learning of quantum noise. Nat. Phys. 16, 1184–1188 (2020). <https://doi.org/10.1038/s41567-020-0992-8>

- [10] A dynamical interpretation of the Pauli Twirling Approximation and Quantum Error  
验证PTA仅在“low decoherence and or short times”时比较有效
- [11] Benchmarking Quantum Computers and the Impact of Quantum Noise  
量子噪声综述
- [12] Comparing Neural Network Based Decoders for the Surface Code  
利用NN, 对depolarizing noise和circuit level noise产生的症状进行解码
- [13] Quantification and characterization of leakage errors  
较为物理的泄露噪声建模

- [14] Simulation and performance analysis of quantum error correction  
带有coherent噪声surface code仿真
- [15] Overcoming leakage in quantum error correction  
谷歌对于泄露噪声的解决方案：测量子每一轮结束时重置，数据子通过LeakageISWAP门返回计算基态
- [16] Density-matrix simulation of small surface codes under current and projected experimental noise  
利用density-matrix对surface code仿真
- [17] The XZZX surface code  
普通surface code的变式，可提高解码阈值，尤其是X，Z错误存在bias的情况下